

Galimų Branduolinių ir Radiologinių Avarijų Maišiagalos Radioaktyviųjų Atliekų Saugykloje Padarinių Analizė

ANALIZĖS ATASKAITOS PRIEDAI

PRIEDAS 1

BENDRIEJI IR OPERATYVIEJI APSAUGOMOSIOS VEIKLOS TAIKIMO LYGIAI IR APSAUGOMIEJI VEIKSMAI ĮVYKUS RADIOLOGINEI AR BRANDUOLINEI AVARIJAI [31]

P1 lentelė. Bendrieji apsaugomosios veiklos taikymo lygiai (BAVTL) ir apsaugomieji veiksmai, taikomi siekiant išvengti arba sumažinti nulemtuosius jonizuojančiosios spinduliuotės sukelius reiškinius [HN 99:2011]

Eil. Nr.	Bendrieji apsaugomosios veiklos taikymo lygiai (BAVTL)		Skubūs apsaugomieji ir avarijos padarinių šalinimo veiksmai ⁽⁴⁾
1	Numatomoji išorinės apšvitos dozė (per trumpesnį kaip 10 val. laikotarpį)		Skubūs apsaugomieji veiksmai: slėpimasis, žmonių evakavimas, dezaktyvavimas, kvėpavimo takų apsauga, jodo profilaktika (jei numatoma, kad aplinkoje pasklis jodo radionuklidai)
1.1	AD _{kaulų čiulpai} ⁽¹⁾	1 Gy	Gyventojų informavimas ir konsultavimas
1.2	AD _{vaisius}	0,1 Gy	
1.3	AD _{audinys} ⁽²⁾	25 Gy	
1.4	AD _{oda} ⁽³⁾	10 Gy	
2	Gautoji vidinės apšvitos dozė (Δ 30 parų)		
2.1	AD(Δ) _{kaulų čiulpai}	0,2 Gy radionuklidams su cheminio elemento eilės numeriu periodinėje lentelėje $Z \geq 90$ 2 Gy radionuklidams su cheminio elemento eilės numeriu periodinėje lentelėje $Z \leq 89$	Medicininis sveikatos patikrinimas, konsultavimas ir gydymas Radioaktyviojo užterštumo kontrolė Radionuklidų šalinimas iš organizmo medicininėmis priemonėmis
2.2	AD(Δ) _{skydliaukė}	2 Gy	Ilgalaikis medicininis sveikatos stebėjimas
2.3	AD(Δ) _{plaučiai}	30 Gy	
2.4	AD(Δ) _{žarnynas}	20 Gy	
2.5	AD(Δ) _{vaisius, visą jo vystymosi laiką gimdoje}	0,1 Gy	Psichologinė pagalba

Pastabos:

- (¹) BAVTL „AD kaulų čiulpai“ taip pat yra taikomas vidaus audiniams, organams (kaulų čiulpams, plaučiamams, plonosioms žarnoms, lytinėms liaukoms, skydliaukei) ir akies lęšiukui.
- (²) 25 Gy audinio sugertoji dozė 0,5 cm gylyje nuo kūno paviršiaus į plotą, lygų 100 cm², gaunama dėl artimo kontakto su jonizuojančiosios spinduliuotės šaltiniu, t. y. laikant jonizuojančiosios spinduliuotės šaltinį rankose, kišenėje.
- (³) Sugertoji dozė 0,4 mm odos gylyje (arba 40 mg/cm²) į odos paviršiaus plotą, lygų 100 cm².
- (⁴) Skubūs apsaugomieji ir avarijos padarinių šalinimo veiksmai taikomi pasirinktinai arba kompleksiškai, atsižvelgiant į avarinės situacijos aplinkybes.

P2 lentelė. Bendrieji apsaugomosios veiklos taikymo lygiai (BAVTL) ir skubūs, ankstyvieji apsaugomieji bei avarijos padarinių šalinimo veiksmai, taikomi siekiant sumažinti atsitiktinius jonizuojančiosios spinduliuotės sukeltus reiškinius [HN 99:2011].

Eil. Nr.	Bendrieji apsaugomosios veiklos taikymo lygiai (BAVTL)		Skubūs, ankstyvieji apsaugomieji bei avarijos padarinių šalinimo veiksmai ⁽¹⁾
1	Jeigu numatomoji dozė viršija šiuos bendruosius apsaugomosios veiklos lygius (BAVTL), taikomi tokie skubūs ⁽²⁾ , ankstyvieji apsaugomieji ir avarijos padarinių šalinimo veiksmai:		
1.1	H _{skydlaukė} (lygiavertė dozė organui)	50 mSv per pirmąsias 7 dienas	Jodo profilaktika
1.2	Efektinė dozė	100 mSv per pirmąsias 7 dienas	Slėpmasis, evakavimas, gyventojų dezaktyvavimas, užterštų maisto produktų, pieno ir geriamojo vandens ir neapsaugotų šachtinių šulinių vandens vartojimo apribojimas, radioaktyviojo užterštumo kontrolė, gyventojų informavimas, konsultavimas bei psichologinės pagalbos teikimas
1.3	H _{vaisius} (lygiavertė dozė organui)	100 mSv per pirmąsias 7 dienas	
2	Jeigu numatomoji dozė viršija šiuos bendruosius apsaugomosios veiklos lygius (BAVTL), taikomi tokie ankstyvieji ir kiti avarijos padarinių šalinimo veiksmai:		
2.1	Efektinė dozė	100 mSv per metus	Laikinas žmonių perkėlimas, dezaktyvavimas, radionuklidais užterštų maisto produktų, pieno ir geriamojo vandens pakeitimas neužterstais, gyventojų informavimas, konsultavimas bei psichologinė pagalba
2.2	H _{vaisius} (lygiavertė dozė organui)	100 mSv per visą vystymosi gimdoje laikotarpį	
3	Jeigu gautoji dozė viršija šiuos bendruosius apsaugomosios veiklos lygius (BAVTL), įvertinamas poveikis sveikatai ir taikomas gydymas:		
3.1	Efektinė dozė	100 mSv per mėnesį	Gyventojų stebėjimas, atsižvelgiant į gautą radiojautriaujų organų apšvitą, siekiant teikti gyventojams tolimesnės sveikatos priežiūros paslaugas ir konsultacijas
3.2	H _{vaisius} (lygiavertė dozė organui)	100 mSv per visą vystymosi gimdoje laikotarpį	Konsultavimas, siekiant nustatyti atvejus, kada būtina taikyti medicinines priemones

Pastabos:

- (1) Skubūs, ankstyvieji apsaugomieji ir avarijos padarinių šalinimo veiksmai, atsižvelgus į avarinės situacijos aplinkybes, taikomi pasirinktinai arba kompleksiškai.
- (2) Skubūs apsaugomieji veiksmai, siekiant, kad jie būtų veiksmingi, turi būti taikomi nedelsiant (ne vėliau kaip per vieną ar kelią valandas).

Lietuvos Respublikos sveikatos apsaugos ministerija gali nustatyti didesnius nei pateikti P2 lentelėje bendruosius apsaugomosios veiklos taikymo lygius, jeigu po avarijos susidaro tam tikros labai nepalankios sąlygos ir néra galimybės tinkamai taikyti skubius apsaugomuosius veiksmus (gamtiniai įvykiai, piktavališki asmenų padaryti veiksmai ir pan.), tačiau P2 lentelėje nurodytieji lygiai negali būti viršyti daugiau kaip 3 kartus.

P3 lentelė. Operatyvieji apsaugomosios veiklos taikymo lygiai (OAVTL) [HN 99:2011]

Eil. Nr.	OAVTL	OAVTL vertė	Skubūs, ankstyvieji apsaugomieji ir avarijos padarinių šalinimo veiksmai, viršijus OAVTL	
		Aplinkos matavimai		
1.	OAVTL1	<p>Gama spinduliuotės (γ) dozės galios lygis $1000 \mu\text{Sv/h}$ 1 m atstumu nuo paviršiaus ar jonizuojančiosios spinduliuotės šaltinio</p> <p>2000 impulsų tiesioginis beta (β) spinduliuotės intensyvumas matuojant paviršiaus taršą (kriterijus taikomas tik uždarojant jonizuojančiosios spinduliuotės šaltinio atveju ir nekeičiamas avarijos atveju);</p> <p>50 impulsų tiesioginis alfa (α) spinduliuotės intensyvumas matuojant paviršiaus taršą</p>	<p>Skubus gyventojų evakavimas ar slėpmasis (didelių daugiaaukščių pastatų uždarose patalpose ar dideliuose mūriniuose pastatuose toliau nuo sienų ir langų)</p> <p>Evakuojamų gyventojų dezaktyvavimas (jei nėra galimybės evakuotis skubiai, vėliau evakuojamiems gyventojams rekomenduojama pasikeisti užterštus viršutinius rūbus bei nusiprausti po dušu)</p> <p>Rekomendavimas evakuojamiems gyventojams nevalgyti, negerti, nerūkyti tol, kol nenusiplaus rankų</p> <p>Maisto produktų (daržovų ir vaisių, augančių atviroje vietoje, ir tų, kurie gali būti užteršti radioaktyviosiomis iškritomis), lietaus vandens bei vandens iš neapsaugotų šachtinių šulinii, užterštoje teritorijoje besiganančių gyvulių pieno vartojimo uždraudimas</p> <p>Evakuojamų gyventojų registravimas ir medicininės pagalbos teikimas</p> <p>Skubus medicininės pagalbos teikimas asmenims, lietusiemems uždarajant jonizuojančiosios spinduliuotės šaltinį, kurio skleidžiama dozės galia lygi ar didesnė nei $1000 \mu\text{Sv/h}$ 1 m atstumu (kriterijus avarijos atveju nekeičiamas)</p>	

Eil. Nr.	OAVTL	OAVTL vertė	Skubūs, ankstyvieji apsaugomieji ir avarijos padarinių šalinimo veiksmai, viršius OAVTL
2.	OAVTL2	<p>Gama spinduliuotės (γ) dozės galios lygis 100 $\mu\text{Sv/h}$ 1 m atstumu nuo paviršiaus ar jonizuojančiosios spinduliuotės šaltinio;</p> <p>200 impulsų tiesioginis beta (β) spinduliuotės intensyvumas matuojant paviršiaus taršą;</p> <p>10 impulsų tiesioginis alfa (α) spinduliuotės intensyvumas matuojant paviršiaus taršą</p>	<p>Maisto produktų (daržovių, vaisių ir kt., augančių atviroje vietoje, kurie gali būti užteršti radioaktyviosiomis iškritomis), lietaus vandens bei vandens iš neapsaugotų šulinių ir užterštoje teritorijoje besiganančių gyvulių pieno vartojimo uždraudimas, kol bus įvertintas jų taršos lygis atsižvelgiant į OAVTL5 ir OAVTL6 reikalavimus</p> <p>Laikinas gyventojų perkėlimas</p> <p>Rekomendavimas evakuojamiems gyventojams nevalgyti, negerti bei nerūkyti tol, kol nenusiplaus rankų</p> <p>Dozių registravimas ir jų įvertinimas, sveikatos patikrinimas</p> <p>Laikinas žmonių perkėlimas iš potencialiai didžiausios apšvitos vietų per keletą dienų nuo avarijos pradžios</p> <p>Asmenų, lietusiu uždarajų jonizuojančiosios spinduliuotės šaltinių, kurio skleidžiama dozės galia lygi ar didesnė nei 100 $\mu\text{Sv/h}$ 1 m atstumu (kriterijus nekeičiamas avarijos atveju) sveikatos patikrinimas; nėščių moterų, lietusiu šaltinių, skubus sveikatos patikrinimas ir gautos dozės įvertinimas</p>

Eil. Nr.	OAVTL	OAVTL vertė	Skubūs, ankstyvieji apsaugomieji ir avarijos padarinių šalinimo veiksmai, viršius OAVTL
3.	OAVTL3	<p>Gama spinduliuotės (γ) dozės galios lygis 1 $\mu\text{Sv}/\text{h}$ 1 m atstumu nuo paviršiaus;</p> <p>20 impulsų tiesioginis beta (β) spinduliuotės intensyvumas matuojant paviršiaus taršą (koreguotas dėl Radono dukterinių radionuklidų sąlygoto gamtinio fono padidėjimo po lietaus);</p> <p>2 impulsų tiesioginis alfa (α) spinduliuotės intensyvumas matuojant paviršiaus taršą (koreguotas dėl Radono dukterinių radionuklidų sąlygoto gamtinio fono padidėjimo po lietaus)</p>	<p>Maisto produktų, kurie gali būti užterštū radioaktyviosiomis iškritomis (atviroje vietoje augančių daržovių, vaisių ir kt.), lietaus vandens, neapsaugotų šachtinių šulinių vandens ir užterštoje teritorijoje besiganančių gyvulių pieno vartojimo uždraudimas, kol bus įvertintas taršos lygis atsižvelgiant į OAVTL5 ir OAVTL6 reikalavimus. Smulkiųjų gyvulių (avių, ožkų ir pan.), besiganančių užterštoje teritorijoje, pienui taikyti 10 proc. OAVTL3 vertės</p> <p>Pagrindinių vietinių maisto produktų, lietaus vandens, neapsaugotų šachtinių šulinių vandens ir besiganančių užterštoje teritorijoje smulkiųjų gyvulių pieno taršos lygio atrankinis tikrinimas, atsižvelgiant į OAVTL5 ir OAVTL6, bet ne mažiau nei 10 kartų didesniu atstumu nuo taršos židinio iki vietovės, kurioje nustatytas viršytas OAVTL3 lygis</p> <p>Jodo profilaktika (tik keletą dienų), jei pagrindinių vietinių maisto produktų ir pieno neįmanoma iš karto pakeisti jodo radionuklidais neužterštu maistu</p> <p>Dozės įvertinimas ir atrankinis asmenų, kurie galėjo vartoti užterštus maisto produktus, lietaus vandenį, neapsaugotų šachtinių šulinių vandenį ar pieną po to, kai jų vartojimas buvo uždraustas, sveikatos patikrinimas</p>

Eil. Nr.	OAVTL	OAVTL vertė	Skubūs, ankstyvieji apsaugomieji ir avarijos padarinių šalinimo veiksmai, viršijus OAVTL
Odos radioaktyvusis užterštumas			
4.	OAVTL4	<p>Gama spinduliuotės (γ) dozės galios lygis 1 $\mu\text{Sv}/\text{h}$ 10 cm atstumu nuo odos paviršiaus</p> <p>1000 impulsų tiesioginis beta (β) spinduliuotės intensyvumas matuojant žmonių radioaktyvujį užterštumą</p> <p>50 impulsų tiesioginis alfa (α) spinduliuotės intensyvumas matuojant žmonių radioaktyvujį užterštumą</p>	<p>Evakuojamų gyventojų dezaktyvavimas (jeigu skubiai evakuotis nėra galimybės, rekomenduojama vėliau evakuotiems gyventojams pasikeisti viršutinius rūbus bei nusiprausti po dušu)</p> <p>Rekomendavimas evakuojamiems gyventojams nevalgyti, negerti bei nerūkyti tol, kol nenusiplaus rankų</p> <p>Sveikatos patikrinimas</p>
Maisto produktų, pieno ir geriamojo vandens pasirinkiniai taršos radionuklidais tyrimai			
5.	OAVTL5	<p>Beta (β) bendrasis aktyvumas: 100 Bq/kg</p> <p>Alfa (α) bendrasis aktyvumas: 5 Bq/kg</p>	<p>Viršijus OAVTL5, būtina įvertinti savitajių ar tūrinį radionuklidų aktyvumą maisto produktuose, piene ir geriamajame vandenye pagal OAVTL6 reikalavimus</p> <p>Neviršijus OAVTL5, maisto produktus, pieną ir geriamąją vandenį vartoti saugu</p>

Eil. Nr.	OAVTL	OAVTL vertė	Skubūs, ankstyvieji apsaugomieji ir avarijos padarinių šalinimo veiksmai, viršijus OAVTL
6.	OAVTL6	Didžiausias leidžiamas savitasis ar tūrinis radionuklidų aktyvumas pagal HN 99:2011 higienos normos 2 priede pateiktas radionuklidų aktyvumo vertes, pvz.: Cs-137 2000 Bq/kg (netaikoma džiovintiems bei koncentruotiems maisto produktams)	<p>Ne pagrindinių maisto produktų, pieno ir geriamojo vandens vartojimo uždraudimas viršijus OAVTL6</p> <p>Skubus aprūpinimo neužterštais pagrindiniai maisto produktais, pienu ir geriamuoju vandeniu organizavimas; laikinas gyventojų perkėlimas, jei toks aprūpinimas neįmanomas</p> <p>Jodo profilaktikos taikymas, jeigu maisto produktai užterštū jodo radionuklidais</p> <p>Dozės įvertinimas ir atrankinis asmenų, kurie galėjo vartoti užterštus maisto produktus, lietaus vandenį ar pieną po to, kai jų vartojimas buvo uždraustas, sveikatos patikrinimas</p>

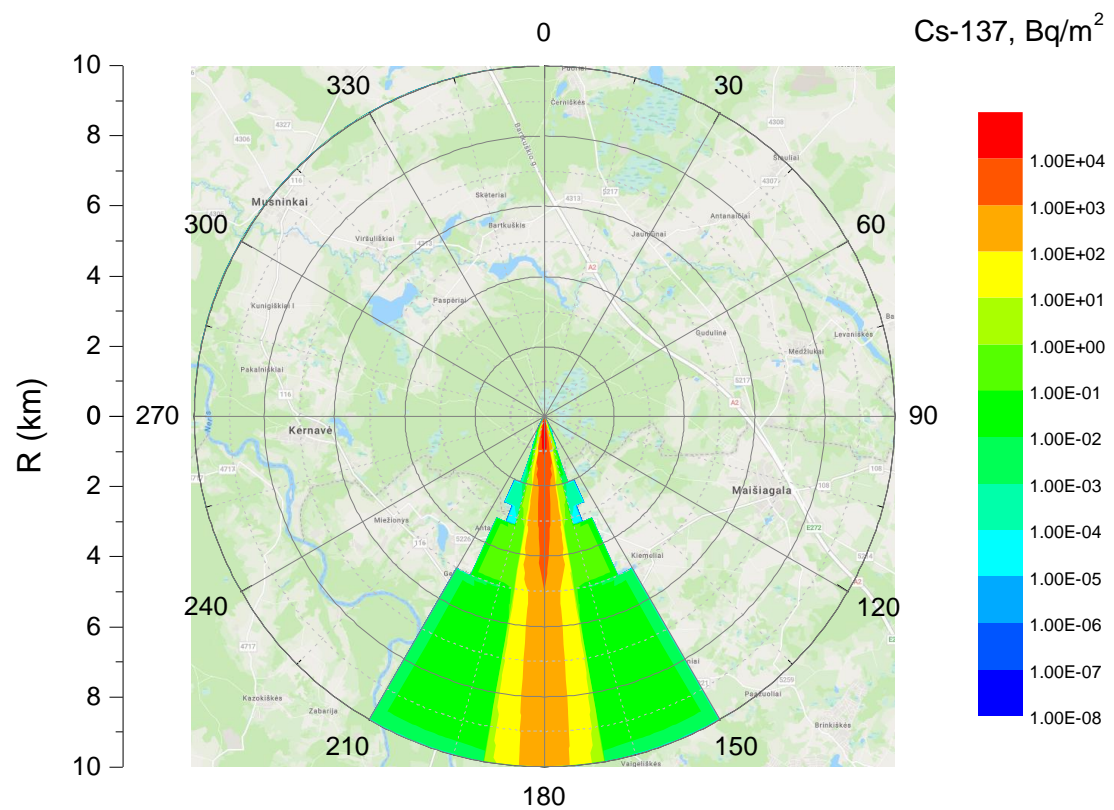
Pastaba:

Rekomendacijas dėl Lentelėje P3 nurodytų maisto produktų konkrečių rūšių vartojimo apribojimo ar uždraudimo teikia Lietuvos Respublikos sveikatos apsaugos ministerija.

PRIEDAS 2

PROGRAMA PC COSYMA 2 ĮVERTINTI CS-137 IŠKRITŲ TANKIO IR PU-239 INTEGRINIO TŪRINIO AKTYVUMO ORE PASISKIRSTYMO TERITORIOJE APIE MAIŠIAGALOS RADIOAKTYVIŲJŲ ATLIEKŲ SAUGYKLĄ REZULTATAI

Galimų branduolinėj ir radiologinių avarių Maišiagalos radioaktyviųjų atliekų saugykloje padarinių analizė



Pav. P2.1 Programa PC COSYMA įvertintas Cs-137 iškritų tankis apie MRAS scenarijui KONS_F_0

Galimų branduolinių ir radiologinių avarijų Maišiagalos radioaktyviųjų atliekų saugykloje padarinių analizė

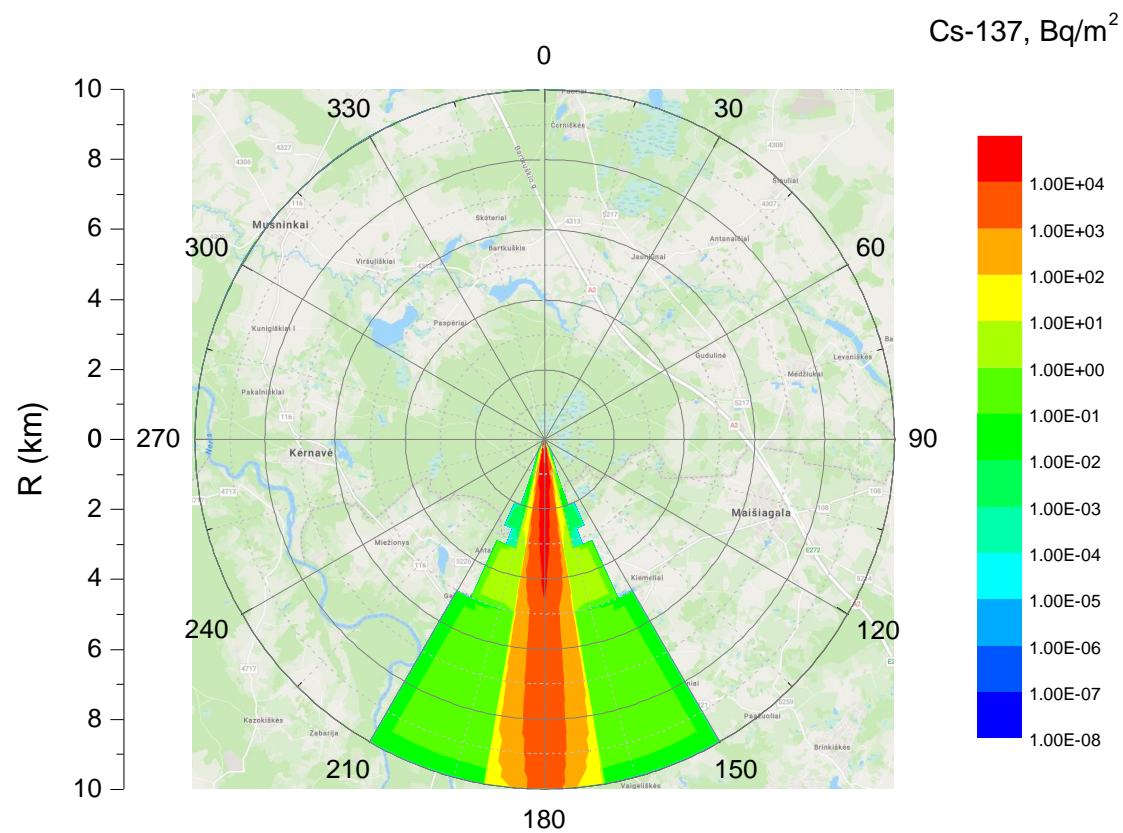
Lentelė P2.1 Cs-137 iškritų tankis, Bq/m². Scenarijus KONS_F_0

Laipsniai	Sektorius	Atstumas, km														
		0,1	0,15	0,2	0,3	0,5	1	1,5	2	2,7	3,2	5	10	15	30	50
0-145	1-30	0,0E+00	0,0E+00	0,0E+00	0,0E+00	0,0E+00	0,0E+00	0,0E+00	0,0E+00	0,0E+00	0,0E+00	0,0E+00	0,0E+00	0,0E+00	0,0E+00	0,0E+00
150	31	1,6E-03	0,0E+00													
155	32	8,3E-01	7,0E-02	8,6E-03	2,8E-04	0,0E+00										
160	33	9,2E+01	1,8E+01	4,4E+00	4,3E-01	1,4E-02	0,0E+00									
165	34	2,9E+03	1,0E+03	4,2E+02	9,4E+01	1,0E+01	2,7E-01	2,1E-02	2,8E-03	2,7E-04	0,0E+00	0,0E+00	0,0E+00	0,0E+00	0,0E+00	0,0E+00
170	35	3,1E+04	1,7E+04	9,4E+03	3,7E+03	9,5E+02	1,1E+02	2,6E+01	8,3E+00	2,3E+00	1,1E+00	1,2E-01	2,9E-03	2,2E-04	0,0E+00	0,0E+00
175	36	1,2E+05	8,3E+04	5,8E+04	3,2E+04	1,3E+04	3,6E+03	1,6E+03	8,7E+02	4,5E+02	3,1E+02	1,1E+02	2,4E+01	9,5E+00	1,6E+00	3,2E-01
180	37	1,9E+05	1,4E+05	1,1E+05	6,4E+04	3,2E+04	1,2E+04	6,3E+03	4,0E+03	2,6E+03	2,0E+03	9,9E+02	4,6E+02	3,2E+02	1,6E+02	9,3E+01
185	38	1,2E+05	8,3E+04	5,8E+04	3,2E+04	1,3E+04	3,6E+03	1,6E+03	8,7E+02	4,5E+02	3,1E+02	1,1E+02	2,4E+01	9,5E+00	1,6E+00	3,2E-01
190	39	3,1E+04	1,7E+04	9,4E+03	3,7E+03	9,5E+02	1,1E+02	2,6E+01	8,3E+00	2,3E+00	1,1E+00	1,2E-01	2,9E-03	2,2E-04	0,0E+00	0,0E+00
195	40	2,9E+03	1,0E+03	4,2E+02	9,4E+01	1,0E+01	2,7E-01	2,1E-02	2,8E-03	2,7E-04	0,0E+00	0,0E+00	0,0E+00	0,0E+00	0,0E+00	0,0E+00
200	41	9,2E+01	1,8E+01	4,4E+00	4,3E-01	1,4E-02	0,0E+00									
205	42	8,3E-01	7,0E-02	8,6E-03	2,8E-04	0,0E+00										
210	43	1,6E-03	0,0E+00													
215-360	44-72	0,0E+00	0,0E+00	0,0E+00	0,0E+00	0,0E+00	0,0E+00	0,0E+00	0,0E+00	0,0E+00	0,0E+00	0,0E+00	0,0E+00	0,0E+00	0,0E+00	0,0E+00

Galimų branduolinių ir radiologinių avarijų Maišiagalos radioaktyviųjų atliekų saugykloje padarinių analizė

Lentelė P2.2 Pu-239 integrinis tūrinis aktyvumas ore, Bq s/m³. Scenarijus KONS_F_0

Laipsniai	Sektorius	Atstumas, km														
		0,1	0,15	0,2	0,3	0,5	1	1,5	2	2,7	3,2	5	10	15	30	50
0-145	1-30	0,0E+00	0,0E+00	0,0E+00	0,0E+00	0,0E+00	0,0E+00	0,0E+00	0,0E+00	0,0E+00	0,0E+00	0,0E+00	0,0E+00	0,0E+00	0,0E+00	0,0E+00
150	31	7,9E-02	0,0E+00													
155	32	4,0E+01	3,4E+00	4,2E-01	1,4E-02	0,0E+00										
160	33	4,5E+03	8,7E+02	2,1E+02	2,1E+01	6,6E-01	0,0E+00									
165	34	1,4E+05	5,0E+04	2,0E+04	4,6E+03	5,0E+02	1,3E+01	1,0E+00	1,4E-01	1,3E-02	0,0E+00	0,0E+00	0,0E+00	0,0E+00	0,0E+00	0,0E+00
170	35	1,5E+06	8,1E+05	4,6E+05	1,8E+05	4,6E+04	5,3E+03	1,2E+03	4,0E+02	1,1E+02	5,3E+01	5,9E+00	1,4E-01	1,1E-02	0,0E+00	0,0E+00
175	36	5,9E+06	4,1E+06	2,8E+06	1,5E+06	6,5E+05	1,8E+05	7,8E+04	4,3E+04	2,2E+04	1,5E+04	5,2E+03	1,1E+03	4,6E+02	7,6E+01	1,6E+01
180	37	9,2E+06	6,9E+06	5,1E+06	3,1E+06	1,6E+06	5,6E+05	3,1E+05	2,0E+05	1,2E+05	9,6E+04	4,8E+04	2,2E+04	1,5E+04	7,9E+03	4,6E+03
185	38	5,9E+06	4,1E+06	2,8E+06	1,5E+06	6,5E+05	1,8E+05	7,8E+04	4,3E+04	2,2E+04	1,5E+04	5,2E+03	1,1E+03	4,6E+02	7,6E+01	1,6E+01
190	39	1,5E+06	8,1E+05	4,6E+05	1,8E+05	4,6E+04	5,3E+03	1,2E+03	4,0E+02	1,1E+02	5,3E+01	5,9E+00	1,4E-01	1,1E-02	0,0E+00	0,0E+00
195	40	1,4E+05	5,0E+04	2,0E+04	4,6E+03	5,0E+02	1,3E+01	1,0E+00	1,4E-01	1,3E-02	0,0E+00	0,0E+00	0,0E+00	0,0E+00	0,0E+00	0,0E+00
200	41	4,5E+03	8,7E+02	2,1E+02	2,1E+01	6,6E-01	0,0E+00									
205	42	4,0E+01	3,4E+00	4,2E-01	1,4E-02	0,0E+00										
210	43	7,9E-02	0,0E+00													
215-360	44-72	0,0E+00	0,0E+00	0,0E+00	0,0E+00	0,0E+00	0,0E+00	0,0E+00	0,0E+00	0,0E+00	0,0E+00	0,0E+00	0,0E+00	0,0E+00	0,0E+00	0,0E+00



Pav. P2.2 Programa PC COSYMA įvertintas Cs-137 iškritų tankis apie MRAS scenarijui KONS_F_5

Galimų branduolinių ir radiologinių avarijų Maišiagalos radioaktyviųjų atliekų saugykloje padarinių analizė

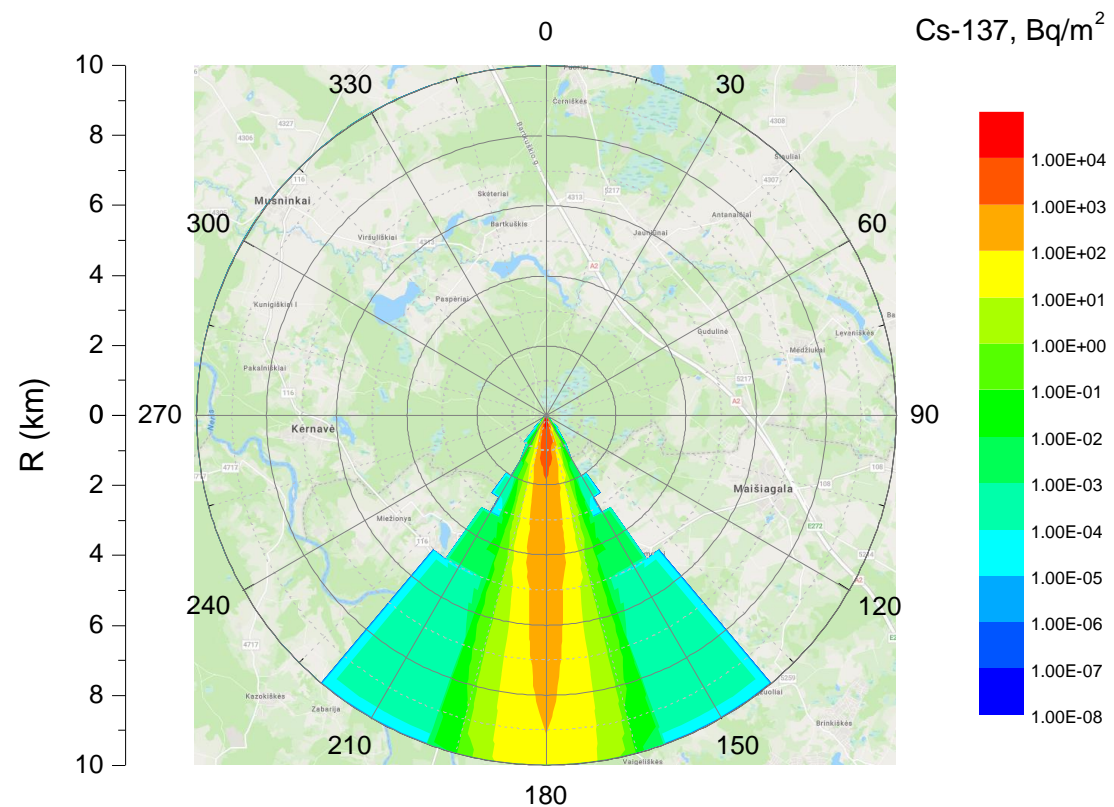
Lentelė P2.3 Cs-137 iškritų tankis, Bq/m². Scenarijus KONS_F_5

Laipsniai	Sektorius	Atstumas, km														
		0,1	0,15	0,2	0,3	0,5	1	1,5	2	2,7	3,2	5	10	15	30	50
0-145	1-30	0,0E+00	0,0E+00	0,0E+00	0,0E+00	0,0E+00	0,0E+00	0,0E+00	0,0E+00	0,0E+00	0,0E+00	0,0E+00	0,0E+00	0,0E+00	0,0E+00	0,0E+00
150	31	5,2E-03	0,0E+00													
155	32	2,6E+00	2,1E-01	2,6E-02	9,2E-04	0,0E+00										
160	33	2,9E+02	5,3E+01	1,3E+01	1,4E+00	5,4E-02	0,0E+00									
165	34	8,9E+03	3,1E+03	1,3E+03	3,2E+02	4,1E+01	1,4E+00	1,3E-01	1,9E-02	2,1E-03	0,0E+00	0,0E+00	0,0E+00	0,0E+00	0,0E+00	0,0E+00
170	35	9,3E+04	4,9E+04	2,9E+04	1,3E+04	3,9E+03	5,9E+02	1,6E+02	5,8E+01	1,8E+01	8,6E+00	1,0E+00	1,4E-02	5,2E-04	0,0E+00	0,0E+00
175	36	3,7E+05	2,5E+05	1,8E+05	1,1E+05	5,4E+04	2,0E+04	1,0E+04	6,2E+03	3,5E+03	2,5E+03	8,8E+02	1,1E+02	2,2E+01	4,2E-01	4,6E-03
180	37	5,8E+05	4,2E+05	3,2E+05	2,2E+05	1,3E+05	6,3E+04	4,0E+04	2,9E+04	2,0E+04	1,6E+04	8,2E+03	2,2E+03	7,4E+02	4,3E+01	1,3E+00
185	38	3,7E+05	2,5E+05	1,8E+05	1,1E+05	5,4E+04	2,0E+04	1,0E+04	6,2E+03	3,5E+03	2,5E+03	8,8E+02	1,1E+02	2,2E+01	4,2E-01	4,6E-03
190	39	9,3E+04	4,9E+04	2,9E+04	1,3E+04	3,9E+03	5,9E+02	1,6E+02	5,8E+01	1,8E+01	8,6E+00	1,0E+00	1,4E-02	5,2E-04	0,0E+00	0,0E+00
195	40	8,9E+03	3,1E+03	1,3E+03	3,2E+02	4,1E+01	1,4E+00	1,3E-01	1,9E-02	2,1E-03	0,0E+00	0,0E+00	0,0E+00	0,0E+00	0,0E+00	0,0E+00
200	41	2,9E+02	5,3E+01	1,3E+01	1,4E+00	5,4E-02	0,0E+00									
205	42	2,6E+00	2,1E-01	2,6E-02	9,2E-04	0,0E+00										
210	43	5,2E-03	0,0E+00													
215-360	44-72	0,0E+00	0,0E+00	0,0E+00	0,0E+00	0,0E+00	0,0E+00	0,0E+00	0,0E+00	0,0E+00	0,0E+00	0,0E+00	0,0E+00	0,0E+00	0,0E+00	0,0E+00

Galimų branduolinių ir radiologinių avarijų Maišiagalos radioaktyviųjų atliekų saugykloje padarinių analizė

Lentelė P2.4 Pu-239 integrinis tūrinis aktyvumas ore, Bq s/m³. Scenarijus KONS_F_5

Laipsniai	Sektorius	Atstumas, km														
		0,1	0,15	0,2	0,3	0,5	1	1,5	2	2,7	3,2	5	10	15	30	50
0-145	1-30	0,0E+00	0,0E+00	0,0E+00	0,0E+00	0,0E+00	0,0E+00	0,0E+00	0,0E+00	0,0E+00	0,0E+00	0,0E+00	0,0E+00	0,0E+00	0,0E+00	0,0E+00
150	31	7,8E-02	0,0E+00													
155	32	4,0E+01	3,3E+00	4,1E-01	1,3E-02	0,0E+00										
160	33	4,4E+03	8,5E+02	2,1E+02	2,0E+01	6,1E-01	0,0E+00									
165	34	1,4E+05	4,9E+04	2,0E+04	4,4E+03	4,7E+02	1,1E+01	8,2E-01	1,0E-01	9,2E-03	0,0E+00	0,0E+00	0,0E+00	0,0E+00	0,0E+00	0,0E+00
170	35	1,5E+06	7,9E+05	4,5E+05	1,7E+05	4,3E+04	4,6E+03	1,0E+03	3,0E+02	7,7E+01	3,3E+01	2,9E+00	3,3E-02	1,2E-03	0,0E+00	0,0E+00
175	36	5,8E+06	4,0E+06	2,7E+06	1,5E+06	6,1E+05	1,5E+05	6,3E+04	3,2E+04	1,5E+04	9,4E+03	2,5E+03	2,7E+02	5,3E+01	1,0E+00	1,1E-02
180	37	9,1E+06	6,8E+06	5,0E+06	3,0E+06	1,4E+06	4,9E+05	2,5E+05	1,5E+05	8,4E+04	6,0E+04	2,3E+04	5,2E+03	1,8E+03	1,0E+02	3,2E+00
185	38	5,8E+06	4,0E+06	2,7E+06	1,5E+06	6,1E+05	1,5E+05	6,3E+04	3,2E+04	1,5E+04	9,4E+03	2,5E+03	2,7E+02	5,3E+01	1,0E+00	1,1E-02
190	39	1,5E+06	7,9E+05	4,5E+05	1,7E+05	4,3E+04	4,6E+03	1,0E+03	3,0E+02	7,7E+01	3,3E+01	2,9E+00	3,3E-02	1,2E-03	0,0E+00	0,0E+00
195	40	1,4E+05	4,9E+04	2,0E+04	4,4E+03	4,7E+02	1,1E+01	8,2E-01	1,0E-01	9,2E-03	0,0E+00	0,0E+00	0,0E+00	0,0E+00	0,0E+00	0,0E+00
200	41	4,4E+03	8,5E+02	2,1E+02	2,0E+01	6,1E-01	0,0E+00									
205	42	4,0E+01	3,3E+00	4,1E-01	1,3E-02	0,0E+00										
210	43	7,8E-02	0,0E+00													
215-360	44-72	0,0E+00	0,0E+00	0,0E+00	0,0E+00	0,0E+00	0,0E+00	0,0E+00	0,0E+00	0,0E+00	0,0E+00	0,0E+00	0,0E+00	0,0E+00	0,0E+00	0,0E+00



Pav. P2.3 Programa PC COSYMA įvertintas Cs-137 iškritų tankis apie MRAS scenarijui KONS_D_0

Galimų branduolinių ir radiologinių avarijų Maišiagalos radioaktyviųjų atliekų saugykloje padarinių analizė

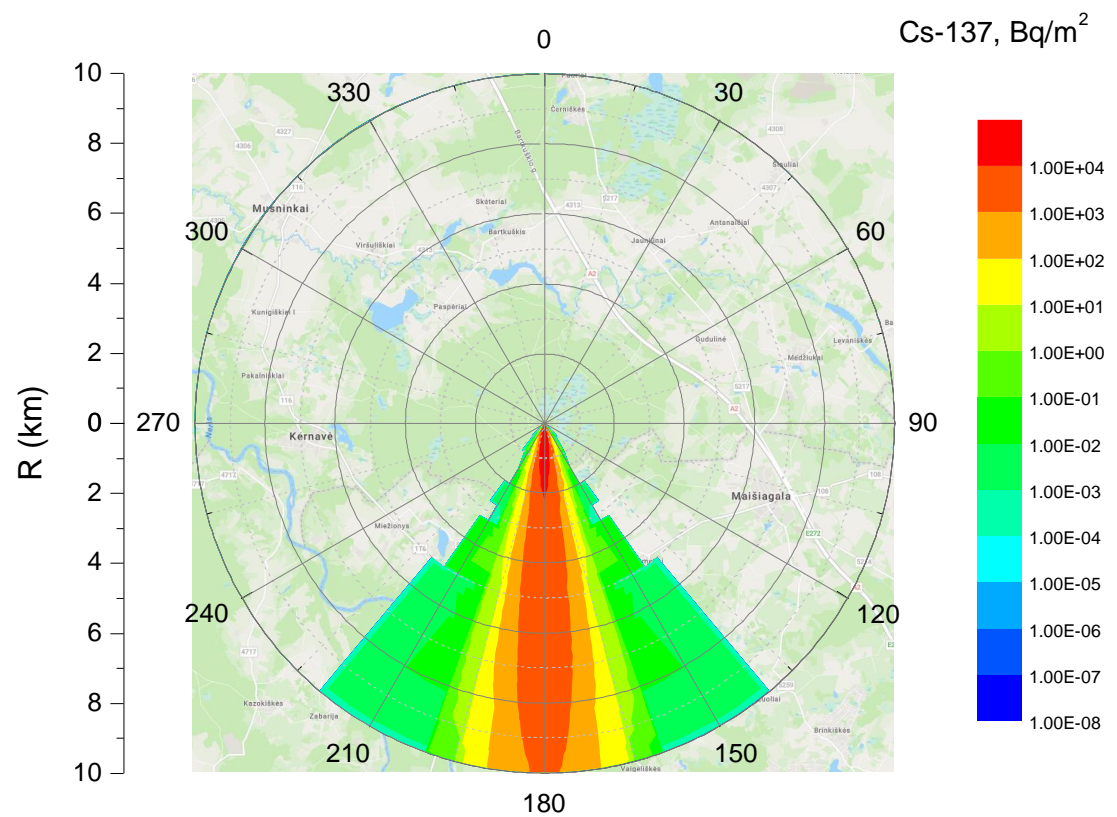
Lentelė P2.5 Cs-137 iškritų tankis, Bq/m². Scenarijus KONS_D_0

Laipsniai	Sektorius	Atstumas, km														
		0,1	0,15	0,2	0,3	0,5	1	1,5	2	2,7	3,2	5	10	15	30	50
0-130	1-27	0,0E+00	0,0E+00	0,0E+00	0,0E+00	0,0E+00	0,0E+00	0,0E+00	0,0E+00	0,0E+00	0,0E+00	0,0E+00	0,0E+00	0,0E+00	0,0E+00	0,0E+00
135	28	7,7E-03	2,7E-04	0,0E+00												
140	29	6,0E-01	4,6E-02	5,6E-03	1,9E-04	0,0E+00										
145	30	1,6E+01	2,2E+00	4,5E-01	3,4E-02	7,5E-04	0,0E+00									
150	31	2,0E+02	4,4E+01	1,3E+01	1,8E+00	1,0E-01	8,7E-04	0,0E+00								
155	32	1,4E+03	4,2E+02	1,6E+02	3,7E+01	4,2E+00	1,3E-01	1,1E-02	1,7E-03	1,9E-04	0,0E+00	0,0E+00	0,0E+00	0,0E+00	0,0E+00	0,0E+00
160	33	5,9E+03	2,4E+03	1,1E+03	3,6E+02	7,1E+01	5,5E+00	9,8E-01	2,6E-01	5,6E-02	2,2E-02	1,5E-03	0,0E+00	0,0E+00	0,0E+00	0,0E+00
165	34	1,7E+04	8,3E+03	4,6E+03	1,9E+03	5,6E+02	8,7E+01	2,6E+01	1,0E+01	3,6E+00	1,9E+00	3,3E-01	1,4E-02	1,6E-03	0,0E+00	0,0E+00
170	35	3,5E+04	2,0E+04	1,2E+04	6,0E+03	2,3E+03	5,7E+02	2,4E+02	1,2E+02	6,1E+01	4,0E+01	1,3E+01	1,7E+00	5,1E-01	6,6E-02	9,9E-03
175	36	5,4E+04	3,2E+04	2,1E+04	1,2E+04	5,3E+03	1,7E+03	8,7E+02	5,3E+02	3,2E+02	2,4E+02	1,1E+02	3,0E+01	1,5E+01	5,7E+00	2,5E+00
180	37	6,2E+04	3,8E+04	2,6E+04	1,5E+04	6,9E+03	2,5E+03	1,3E+03	8,6E+02	5,5E+02	4,2E+02	2,2E+02	7,5E+01	4,4E+01	2,5E+01	1,6E+01
185	38	5,4E+04	3,2E+04	2,1E+04	1,2E+04	5,3E+03	1,7E+03	8,7E+02	5,3E+02	3,2E+02	2,4E+02	1,1E+02	3,0E+01	1,5E+01	5,7E+00	2,5E+00
190	39	3,5E+04	2,0E+04	1,2E+04	6,0E+03	2,3E+03	5,7E+02	2,4E+02	1,2E+02	6,1E+01	4,0E+01	1,3E+01	1,7E+00	5,1E-01	6,6E-02	9,9E-03
195	40	1,7E+04	8,3E+03	4,6E+03	1,9E+03	5,6E+02	8,7E+01	2,6E+01	1,0E+01	3,6E+00	1,9E+00	3,3E-01	1,4E-02	1,6E-03	0,0E+00	0,0E+00
200	41	5,9E+03	2,4E+03	1,1E+03	3,6E+02	7,1E+01	5,5E+00	9,8E-01	2,6E-01	5,6E-02	2,2E-02	1,5E-03	0,0E+00	0,0E+00	0,0E+00	0,0E+00
205	42	1,4E+03	4,2E+02	1,6E+02	3,7E+01	4,2E+00	1,3E-01	1,1E-02	1,7E-03	1,9E-04	0,0E+00	0,0E+00	0,0E+00	0,0E+00	0,0E+00	0,0E+00
210	43	2,0E+02	4,4E+01	1,3E+01	1,8E+00	1,0E-01	8,7E-04	0,0E+00								
215	44	1,6E+01	2,2E+00	4,5E-01	3,4E-02	7,5E-04	0,0E+00									
220	45	6,0E-01	4,6E-02	5,6E-03	1,9E-04	0,0E+00										
225	46	7,7E-03	2,7E-04	0,0E+00												
230-360	47-72	0,0E+00	0,0E+00	0,0E+00	0,0E+00	0,0E+00	0,0E+00	0,0E+00	0,0E+00	0,0E+00	0,0E+00	0,0E+00	0,0E+00	0,0E+00	0,0E+00	0,0E+00

Galimų branduolinių ir radiologinių avarijų Maišiagalos radioaktyviųjų atliekų saugykloje padarinių analizė

Lentelė P2.6 Pu-239 integrinis tūrinis aktyvumas ore, Bq s/m³ Scenarijus KONS_D_0

Laipsniai	Sektorius	Atstumas, km														
		0,1	0,15	0,2	0,3	0,5	1	1,5	2	2,7	3,2	5	10	15	30	50
0-130	1-27	0,0E+00	0,0E+00	0,0E+00	0,0E+00	0,0E+00	0,0E+00	0,0E+00	0,0E+00	0,0E+00	0,0E+00	0,0E+00	0,0E+00	0,0E+00	0,0E+00	0,0E+00
135	28	3,7E-01	1,3E-02	0,0E+00												
140	29	2,9E+01	2,2E+00	2,7E-01	9,3E-03	0,0E+00										
145	30	7,9E+02	1,1E+02	2,2E+01	1,7E+00	3,7E-02	0,0E+00									
150	31	9,8E+03	2,1E+03	6,2E+02	8,6E+01	4,9E+00	4,2E-02	0,0E+00								
155	32	6,7E+04	2,1E+04	8,0E+03	1,8E+03	2,1E+02	6,2E+00	5,6E-01	8,3E-02	9,3E-03	0,0E+00	0,0E+00	0,0E+00	0,0E+00	0,0E+00	0,0E+00
160	33	2,9E+05	1,2E+05	5,5E+04	1,8E+04	3,5E+03	2,7E+02	4,8E+01	1,3E+01	2,7E+00	1,1E+00	7,5E-02	0,0E+00	0,0E+00	0,0E+00	0,0E+00
165	34	8,4E+05	4,0E+05	2,3E+05	9,3E+04	2,7E+04	4,2E+03	1,3E+03	4,9E+02	1,7E+02	9,3E+01	1,6E+01	6,6E-01	7,8E-02	0,0E+00	0,0E+00
170	35	1,7E+06	9,5E+05	5,9E+05	2,9E+05	1,1E+05	2,8E+04	1,2E+04	6,0E+03	3,0E+03	2,0E+03	6,2E+02	8,5E+01	2,5E+01	3,2E+00	4,8E-01
175	36	2,6E+06	1,6E+06	1,0E+06	5,7E+05	2,6E+05	8,3E+04	4,2E+04	2,6E+04	1,6E+04	1,2E+04	5,2E+03	1,4E+03	7,0E+02	2,8E+02	1,2E+02
180	37	3,0E+06	1,8E+06	1,3E+06	7,1E+05	3,4E+05	1,2E+05	6,5E+04	4,2E+04	2,7E+04	2,1E+04	1,0E+04	3,7E+03	2,1E+03	1,2E+03	7,7E+02
185	38	2,6E+06	1,6E+06	1,0E+06	5,7E+05	2,6E+05	8,3E+04	4,2E+04	2,6E+04	1,6E+04	1,2E+04	5,2E+03	1,4E+03	7,0E+02	2,8E+02	1,2E+02
190	39	1,7E+06	9,5E+05	5,9E+05	2,9E+05	1,1E+05	2,8E+04	1,2E+04	6,0E+03	3,0E+03	2,0E+03	6,2E+02	8,5E+01	2,5E+01	3,2E+00	4,8E-01
195	40	8,4E+05	4,0E+05	2,3E+05	9,3E+04	2,7E+04	4,2E+03	1,3E+03	4,9E+02	1,7E+02	9,3E+01	1,6E+01	6,6E-01	7,8E-02	0,0E+00	0,0E+00
200	41	2,9E+05	1,2E+05	5,5E+04	1,8E+04	3,5E+03	2,7E+02	4,8E+01	1,3E+01	2,7E+00	1,1E+00	7,5E-02	0,0E+00	0,0E+00	0,0E+00	0,0E+00
205	42	6,7E+04	2,1E+04	8,0E+03	1,8E+03	2,1E+02	6,2E+00	5,6E-01	8,3E-02	9,3E-03	0,0E+00	0,0E+00	0,0E+00	0,0E+00	0,0E+00	0,0E+00
210	43	9,8E+03	2,1E+03	6,2E+02	8,6E+01	4,9E+00	4,2E-02	0,0E+00								
215	44	7,9E+02	1,1E+02	2,2E+01	1,7E+00	3,7E-02	0,0E+00									
220	45	2,9E+01	2,2E+00	2,7E-01	9,3E-03	0,0E+00										
225	46	3,7E-01	1,3E-02	0,0E+00												
230-360	47-72	0,0E+00	0,0E+00	0,0E+00	0,0E+00	0,0E+00	0,0E+00	0,0E+00	0,0E+00	0,0E+00	0,0E+00	0,0E+00	0,0E+00	0,0E+00	0,0E+00	0,0E+00



Pav. P2.4 Programa PC COSYMA įvertintas Cs-137 iškritų tankis apie MRAS scenarijui KONS_D_5

Galimų branduolinių ir radiologinių avarijų Maišiagalos radioaktyviųjų atliekų saugykloje padarinių analizė

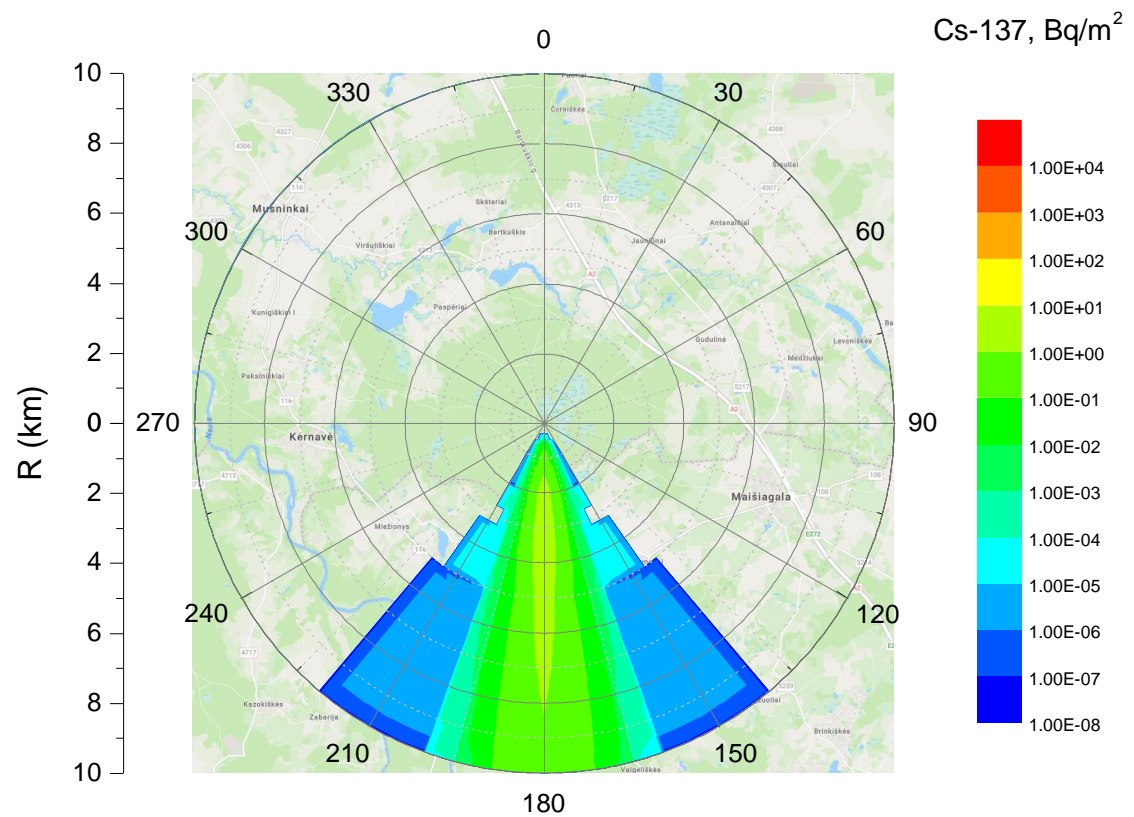
Lentelė P2.7 Cs-137 iškritų tankis, Bq/m². Scenarijus KONS_D_5

Laipsniai	Sektorius	Atstumas, km														
		0,1	0,15	0,2	0,3	0,5	1	1,5	2	2,7	3,2	5	10	15	30	50
0-130	1-27	0,0E+00	0,0E+00	0,0E+00	0,0E+00	0,0E+00	0,0E+00	0,0E+00	0,0E+00	0,0E+00	0,0E+00	0,0E+00	0,0E+00	0,0E+00	0,0E+00	0,0E+00
135	28	2,3E-02	8,6E-04	0,0E+00												
140	29	1,8E+00	1,5E-01	2,0E-02	8,0E-04	0,0E+00										
145	30	4,9E+01	7,4E+00	1,6E+00	1,5E-01	4,1E-03	0,0E+00									
150	31	6,2E+02	1,5E+02	4,7E+01	7,8E+00	5,7E-01	7,1E-03	0,0E+00								
155	32	4,3E+03	1,5E+03	6,2E+02	1,7E+02	2,4E+01	1,1E+00	1,2E-01	2,1E-02	2,7E-03	0,0E+00	0,0E+00	0,0E+00	0,0E+00	0,0E+00	0,0E+00
160	33	1,8E+04	8,2E+03	4,3E+03	1,7E+03	4,2E+02	4,7E+01	1,0E+01	3,1E+00	7,9E-01	3,4E-01	2,7E-02	0,0E+00	0,0E+00	0,0E+00	0,0E+00
165	34	5,4E+04	2,9E+04	1,8E+04	8,9E+03	3,4E+03	7,5E+02	2,8E+02	1,3E+02	5,1E+01	2,9E+01	5,8E+00	2,5E-01	2,5E-02	0,0E+00	0,0E+00
170	35	1,1E+05	6,8E+04	4,8E+04	2,8E+04	1,4E+04	5,0E+03	2,6E+03	1,6E+03	8,7E+02	6,2E+02	2,3E+02	3,3E+01	7,6E+00	2,7E-01	7,4E-03
175	36	1,7E+05	1,1E+05	8,4E+04	5,5E+04	3,2E+04	1,5E+04	9,5E+03	6,7E+03	4,6E+03	3,7E+03	1,9E+03	5,5E+02	2,2E+02	2,3E+01	1,8E+00
180	37	2,0E+05	1,3E+05	1,0E+05	6,9E+04	4,2E+04	2,2E+04	1,5E+04	1,1E+04	7,9E+03	6,6E+03	3,9E+03	1,4E+03	6,5E+02	9,7E+01	1,1E+01
185	38	1,7E+05	1,1E+05	8,4E+04	5,5E+04	3,2E+04	1,5E+04	9,5E+03	6,7E+03	4,6E+03	3,7E+03	1,9E+03	5,5E+02	2,2E+02	2,3E+01	1,8E+00
190	39	1,1E+05	6,8E+04	4,8E+04	2,8E+04	1,4E+04	5,0E+03	2,6E+03	1,6E+03	8,7E+02	6,2E+02	2,3E+02	3,3E+01	7,6E+00	2,7E-01	7,4E-03
195	40	5,4E+04	2,9E+04	1,8E+04	8,9E+03	3,4E+03	7,5E+02	2,8E+02	1,3E+02	5,1E+01	2,9E+01	5,8E+00	2,5E-01	2,5E-02	0,0E+00	0,0E+00
200	41	1,8E+04	8,2E+03	4,3E+03	1,7E+03	4,2E+02	4,7E+01	1,0E+01	3,1E+00	7,9E-01	3,4E-01	2,7E-02	0,0E+00	0,0E+00	0,0E+00	0,0E+00
205	42	4,3E+03	1,5E+03	6,2E+02	1,7E+02	2,4E+01	1,1E+00	1,2E-01	2,1E-02	2,7E-03	0,0E+00	0,0E+00	0,0E+00	0,0E+00	0,0E+00	0,0E+00
210	43	6,2E+02	1,5E+02	4,7E+01	7,8E+00	5,7E-01	7,1E-03	0,0E+00								
215	44	4,9E+01	7,4E+00	1,6E+00	1,5E-01	4,1E-03	0,0E+00									
220	45	1,8E+00	1,5E-01	2,0E-02	8,0E-04	0,0E+00										
225	46	2,3E-02	8,6E-04	0,0E+00												
230-360	47-72	0,0E+00	0,0E+00	0,0E+00	0,0E+00	0,0E+00	0,0E+00	0,0E+00	0,0E+00	0,0E+00	0,0E+00	0,0E+00	0,0E+00	0,0E+00	0,0E+00	0,0E+00

Galimų branduolinių ir radiologinių avarijų Maišiagalos radioaktyviųjų atliekų saugykloje padarinių analizė

Lentelė P2.8 Pu-239 integrinis tūrinis aktyvumas ore, Bq s/m³. Scenarijus KONS_D_5

Laipsniai	Sektorius	Atstumas, km														
		0,1	0,15	0,2	0,3	0,5	1	1,5	2	2,7	3,2	5	10	15	30	50
0-130	1-27	0,0E+00	0,0E+00	0,0E+00	0,0E+00	0,0E+00	0,0E+00	0,0E+00	0,0E+00	0,0E+00	0,0E+00	0,0E+00	0,0E+00	0,0E+00	0,0E+00	0,0E+00
135	28	3,7E-01	1,3E-02	0,0E+00												
140	29	2,9E+01	2,2E+00	2,7E-01	9,2E-03	0,0E+00										
145	30	7,8E+02	1,1E+02	2,1E+01	1,6E+00	3,5E-02	0,0E+00									
150	31	9,7E+03	2,1E+03	6,1E+02	8,4E+01	4,7E+00	3,9E-02	0,0E+00								
155	32	6,7E+04	2,0E+04	7,8E+03	1,7E+03	2,0E+02	5,7E+00	4,9E-01	7,1E-02	7,5E-03	0,0E+00	0,0E+00	0,0E+00	0,0E+00	0,0E+00	0,0E+00
160	33	2,9E+05	1,1E+05	5,4E+04	1,7E+04	3,3E+03	2,5E+02	4,2E+01	1,1E+01	2,2E+00	8,3E-01	5,0E-02	0,0E+00	0,0E+00	0,0E+00	0,0E+00
165	34	8,3E+05	4,0E+05	2,2E+05	9,1E+04	2,6E+04	3,9E+03	1,1E+03	4,1E+02	1,4E+02	7,1E+01	1,0E+01	2,8E-01	2,2E-02	0,0E+00	0,0E+00
170	35	1,7E+06	9,4E+05	5,8E+05	2,9E+05	1,1E+05	2,6E+04	1,0E+04	5,1E+03	2,3E+03	1,5E+03	4,0E+02	3,6E+01	6,7E+00	2,4E-01	6,5E-03
175	36	2,6E+06	1,5E+06	1,0E+06	5,5E+05	2,5E+05	7,6E+04	3,7E+04	2,2E+04	1,2E+04	8,7E+03	3,4E+03	6,0E+02	1,9E+02	2,0E+01	1,6E+00
180	37	3,0E+06	1,8E+06	1,2E+06	6,9E+05	3,2E+05	1,1E+05	5,7E+04	3,5E+04	2,1E+04	1,6E+04	6,7E+03	1,5E+03	5,7E+02	8,6E+01	9,8E+00
185	38	2,6E+06	1,5E+06	1,0E+06	5,5E+05	2,5E+05	7,6E+04	3,7E+04	2,2E+04	1,2E+04	8,7E+03	3,4E+03	6,0E+02	1,9E+02	2,0E+01	1,6E+00
190	39	1,7E+06	9,4E+05	5,8E+05	2,9E+05	1,1E+05	2,6E+04	1,0E+04	5,1E+03	2,3E+03	1,5E+03	4,0E+02	3,6E+01	6,7E+00	2,4E-01	6,5E-03
195	40	8,3E+05	4,0E+05	2,2E+05	9,1E+04	2,6E+04	3,9E+03	1,1E+03	4,1E+02	1,4E+02	7,1E+01	1,0E+01	2,8E-01	2,2E-02	0,0E+00	0,0E+00
200	41	2,9E+05	1,1E+05	5,4E+04	1,7E+04	3,3E+03	2,5E+02	4,2E+01	1,1E+01	2,2E+00	8,3E-01	5,0E-02	0,0E+00	0,0E+00	0,0E+00	0,0E+00
205	42	6,7E+04	2,0E+04	7,8E+03	1,7E+03	2,0E+02	5,7E+00	4,9E-01	7,1E-02	7,5E-03	0,0E+00	0,0E+00	0,0E+00	0,0E+00	0,0E+00	0,0E+00
210	43	9,7E+03	2,1E+03	6,1E+02	8,4E+01	4,7E+00	3,9E-02	0,0E+00								
215	44	7,8E+02	1,1E+02	2,1E+01	1,6E+00	3,5E-02	0,0E+00									
220	45	2,9E+01	2,2E+00	2,7E-01	9,2E-03	0,0E+00										
225	46	3,7E-01	1,3E-02	0,0E+00												
230-360	47-72	0,0E+00	0,0E+00	0,0E+00	0,0E+00	0,0E+00	0,0E+00	0,0E+00	0,0E+00	0,0E+00	0,0E+00	0,0E+00	0,0E+00	0,0E+00	0,0E+00	0,0E+00



Pav. P2.5 Programa PC COSYMA įvertintas Cs-137 iškritų tankis apie MRAS scenarijui TIK_D_0

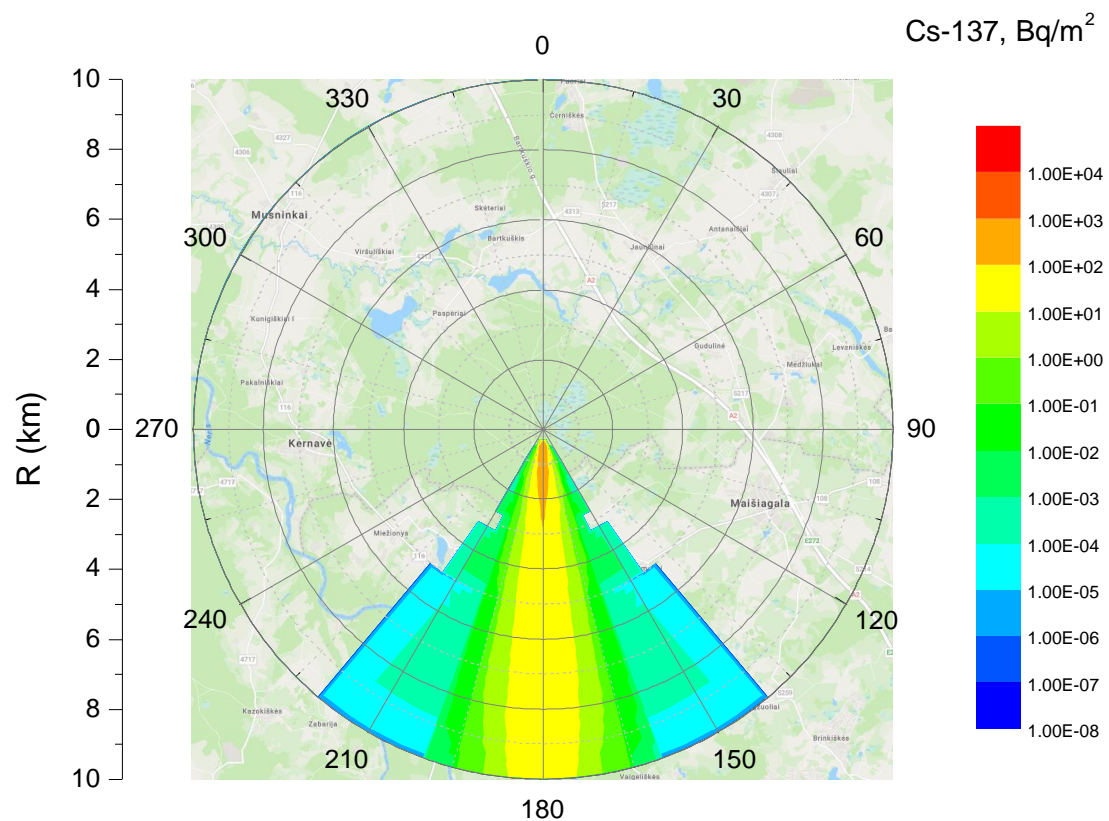
Lentelė P2.9 Cs-137 iškritų tankis, Bq/m². Scenarijus TIK_D_0

Laipsniai	Sektorius	Atstumas, km														
		0,1	0,15	0,2	0,3	0,5	1	1,5	2	2,7	3,2	5	10	15	30	50
0-150	1-31	0,0E+00	0,0E+00	0,0E+00	0,0E+00	0,0E+00	0,0E+00	0,0E+00	0,0E+00	0,0E+00	0,0E+00	0,0E+00	0,0E+00	0,0E+00	0,00E+00	0,00E+00
155	32	0,0E+00	0,0E+00	0,0E+00	0,0E+00	0,0E+00	6,2E-06	6,1E-06	0,0E+00	0,0E+00	0,0E+00	0,0E+00	0,0E+00	0,0E+00	0,00E+00	0,00E+00
160	33	0,0E+00	0,0E+00	0,0E+00	0,0E+00	0,0E+00	3,5E-04	6,1E-04	4,3E-04	1,8E-04	9,5E-05	1,1E-05	0,0E+00	0,0E+00	0,00E+00	0,00E+00
165	34	0,0E+00	0,0E+00	0,0E+00	0,0E+00	9,9E-06	6,8E-03	1,8E-02	1,8E-02	1,2E-02	8,5E-03	2,3E-03	1,3E-04	1,7E-05	0,00E+00	0,00E+00
170	35	0,0E+00	0,0E+00	0,0E+00	0,0E+00	5,9E-05	5,1E-02	1,8E-01	2,3E-01	2,2E-01	1,8E-01	9,0E-02	1,7E-02	5,3E-03	7,28E-04	1,17E-04
175	36	0,0E+00	0,0E+00	0,0E+00	0,0E+00	1,7E-04	1,7E-01	6,8E-01	1,0E+00	1,2E+00	1,1E+00	7,7E-01	2,9E-01	1,5E-01	6,14E-02	2,84E-02
180	37	0,0E+00	0,0E+00	0,0E+00	0,0E+00	2,3E-04	2,4E-01	1,1E+00	1,7E+00	2,0E+00	2,0E+00	1,6E+00	7,4E-01	4,6E-01	2,63E-01	1,72E-01
185	38	0,0E+00	0,0E+00	0,0E+00	0,0E+00	1,7E-04	1,7E-01	6,8E-01	1,0E+00	1,2E+00	1,1E+00	7,7E-01	2,9E-01	1,5E-01	6,14E-02	2,84E-02
190	39	0,0E+00	0,0E+00	0,0E+00	0,0E+00	5,9E-05	5,1E-02	1,8E-01	2,3E-01	2,2E-01	1,8E-01	9,0E-02	1,7E-02	5,3E-03	7,28E-04	1,17E-04
195	40	0,0E+00	0,0E+00	0,0E+00	0,0E+00	9,9E-06	6,8E-03	1,8E-02	1,8E-02	1,2E-02	8,5E-03	2,3E-03	1,3E-04	1,7E-05	0,00E+00	0,00E+00
200	41	0,0E+00	0,0E+00	0,0E+00	0,0E+00	0,0E+00	3,5E-04	6,1E-04	4,3E-04	1,8E-04	9,5E-05	1,1E-05	0,0E+00	0,0E+00	0,00E+00	0,00E+00
205	42	0,0E+00	0,0E+00	0,0E+00	0,0E+00	0,0E+00	6,2E-06	6,1E-06	0,0E+00	0,0E+00	0,0E+00	0,0E+00	0,0E+00	0,0E+00	0,00E+00	0,00E+00
210-360	43-72	0,0E+00	0,0E+00	0,0E+00	0,0E+00	0,0E+00	0,0E+00	0,0E+00	0,0E+00	0,0E+00	0,0E+00	0,0E+00	0,0E+00	0,0E+00	0,00E+00	0,00E+00

Galimų branduolinių ir radiologinių avarijų Maišiagalos radioaktyviųjų atliekų saugykloje padarinių analizė

Lentelė P2.10 Pu-239 integrinis tūrinis aktyvumas ore, Bq s/m³. Scenarijus TIK_D_0

Laipsniai	Sektorius	Atstumas, km														
		0,1	0,15	0,2	0,3	0,5	1	1,5	2	2,7	3,2	5	10	15	30	50
0-150	1-31	0,0E+00	0,0E+00	0,0E+00	0,0E+00	0,0E+00	0,0E+00	0,0E+00	0,0E+00	0,0E+00	0,0E+00	0,0E+00	0,0E+00	0,0E+00	0,00E+00	0,00E+00
155	32	0,0E+00	0,0E+00	0,0E+00	0,0E+00	0,0E+00	3,4E-04	3,4E-04	0,0E+00	0,0E+00	0,0E+00	0,0E+00	0,0E+00	0,0E+00	0,00E+00	0,00E+00
160	33	0,0E+00	0,0E+00	0,0E+00	0,0E+00	0,0E+00	2,0E-02	3,4E-02	2,4E-02	1,0E-02	5,3E-03	5,9E-04	0,0E+00	0,0E+00	0,00E+00	0,00E+00
165	34	0,0E+00	0,0E+00	0,0E+00	0,0E+00	5,5E-04	3,7E-01	9,9E-01	1,0E+00	6,8E-01	4,7E-01	1,3E-01	7,2E-03	9,3E-04	0,00E+00	0,00E+00
170	35	0,0E+00	0,0E+00	0,0E+00	0,0E+00	3,3E-03	2,8E+00	9,9E+00	1,3E+01	1,2E+01	1,0E+01	5,0E+00	9,4E-01	2,9E-01	4,03E-02	6,48E-03
175	36	0,0E+00	0,0E+00	0,0E+00	0,0E+00	9,1E-03	9,1E+00	3,8E+01	5,7E+01	6,4E+01	6,1E+01	4,2E+01	1,6E+01	8,4E+00	3,40E+00	1,57E+00
180	37	0,0E+00	0,0E+00	0,0E+00	0,0E+00	1,3E-02	1,3E+01	5,9E+01	9,4E+01	1,1E+02	1,1E+02	8,6E+01	4,1E+01	2,5E+01	1,46E+01	9,54E+00
185	38	0,0E+00	0,0E+00	0,0E+00	0,0E+00	9,1E-03	9,1E+00	3,8E+01	5,7E+01	6,4E+01	6,1E+01	4,2E+01	1,6E+01	8,4E+00	3,40E+00	1,57E+00
190	39	0,0E+00	0,0E+00	0,0E+00	0,0E+00	3,3E-03	2,8E+00	9,9E+00	1,3E+01	1,2E+01	1,0E+01	5,0E+00	9,4E-01	2,9E-01	4,03E-02	6,48E-03
195	40	0,0E+00	0,0E+00	0,0E+00	0,0E+00	5,5E-04	3,7E-01	9,9E-01	1,0E+00	6,8E-01	4,7E-01	1,3E-01	7,2E-03	9,3E-04	0,00E+00	0,00E+00
200	41	0,0E+00	0,0E+00	0,0E+00	0,0E+00	0,0E+00	2,0E-02	3,4E-02	2,4E-02	1,0E-02	5,3E-03	5,9E-04	0,0E+00	0,0E+00	0,00E+00	0,00E+00
205	42	0,0E+00	0,0E+00	0,0E+00	0,0E+00	0,0E+00	3,4E-04	3,4E-04	0,0E+00	0,0E+00	0,0E+00	0,0E+00	0,0E+00	0,0E+00	0,00E+00	0,00E+00
210-360	43-72	0,0E+00	0,0E+00	0,0E+00	0,0E+00	0,0E+00	0,0E+00	0,0E+00	0,0E+00	0,0E+00	0,0E+00	0,0E+00	0,0E+00	0,0E+00	0,00E+00	0,00E+00



Pav. P2.6 Programa PC COSYMA įvertintas Cs-137 iškritų tankis apie MRAS scenarijui TIK_D_5

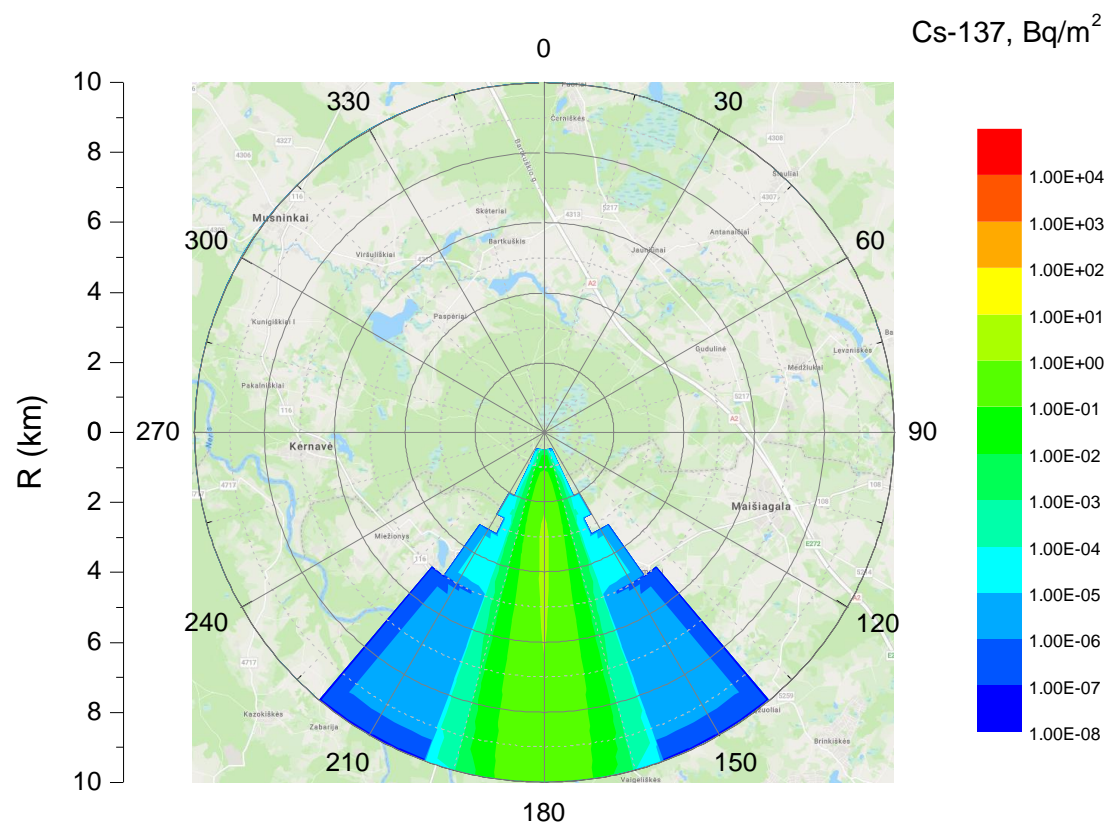
Lentelė P2.11 Cs-137 iškritų tankis, Bq/m². Scenarijus TIK_D_5

Laipsniai	Sektorius	Atstumas, km														
		0,1	0,15	0,2	0,3	0,5	1	1,5	2	2,7	3,2	5	10	15	30	50
0-150	1-31	0,0E+00	0,0E+00	0,0E+00	0,0E+00	0,0E+00	0,0E+00	0,0E+00	0,0E+00	0,0E+00	0,0E+00	0,0E+00	0,0E+00	0,0E+00	0,00E+00	0,00E+00
155	32	0,0E+00	0,0E+00	0,0E+00	0,0E+00	0,0E+00	1,2E-02	1,4E-03	0,0E+00	0,0E+00	0,0E+00	0,0E+00	0,0E+00	0,0E+00	0,00E+00	0,00E+00
160	33	0,0E+00	0,0E+00	0,0E+00	0,0E+00	0,0E+00	5,1E-01	1,2E-01	3,8E-02	1,0E-02	4,5E-03	4,1E-04	0,0E+00	0,0E+00	0,00E+00	0,00E+00
165	34	0,0E+00	0,0E+00	0,0E+00	0,0E+00	3,3E+01	8,2E+00	3,2E+00	1,5E+00	6,6E-01	3,9E-01	8,8E-02	5,1E-03	6,6E-04	0,00E+00	0,00E+00
170	35	0,0E+00	0,0E+00	0,0E+00	0,0E+00	1,4E+02	5,4E+01	3,0E+01	1,9E+01	1,1E+01	8,3E+00	3,4E+00	6,6E-01	2,1E-01	1,76E-02	1,52E-03
175	36	0,0E+00	0,0E+00	0,0E+00	0,0E+00	3,2E+02	1,6E+02	1,1E+02	8,2E+01	6,0E+01	5,0E+01	2,9E+01	1,1E+01	5,9E+00	1,47E+00	3,63E-01
180	37	0,0E+00	0,0E+00	0,0E+00	0,0E+00	4,2E+02	2,4E+02	1,7E+02	1,3E+02	1,0E+02	8,9E+01	5,9E+01	2,9E+01	1,8E+01	6,30E+00	2,19E+00
185	38	0,0E+00	0,0E+00	0,0E+00	0,0E+00	3,2E+02	1,6E+02	1,1E+02	8,2E+01	6,0E+01	5,0E+01	2,9E+01	1,1E+01	5,9E+00	1,47E+00	3,63E-01
190	39	0,0E+00	0,0E+00	0,0E+00	0,0E+00	1,4E+02	5,4E+01	3,0E+01	1,9E+01	1,1E+01	8,3E+00	3,4E+00	6,6E-01	2,1E-01	1,76E-02	1,52E-03
195	40	0,0E+00	0,0E+00	0,0E+00	0,0E+00	3,3E+01	8,2E+00	3,2E+00	1,5E+00	6,6E-01	3,9E-01	8,8E-02	5,1E-03	6,6E-04	0,00E+00	0,00E+00
200	41	0,0E+00	0,0E+00	0,0E+00	0,0E+00	0,0E+00	5,1E-01	1,2E-01	3,8E-02	1,0E-02	4,5E-03	4,1E-04	0,0E+00	0,0E+00	0,00E+00	0,00E+00
205	42	0,0E+00	0,0E+00	0,0E+00	0,0E+00	0,0E+00	1,2E-02	1,4E-03	0,0E+00	0,0E+00	0,0E+00	0,0E+00	0,0E+00	0,0E+00	0,00E+00	0,00E+00
210-360	43-72	0,0E+00	0,0E+00	0,0E+00	0,0E+00	0,0E+00	0,0E+00	0,0E+00	0,0E+00	0,0E+00	0,0E+00	0,0E+00	0,0E+00	0,0E+00	0,00E+00	0,00E+00

Galimų branduolinių ir radiologinių avarijų Maišiagalos radioaktyviųjų atliekų saugykloje padarinių analizė

Lentelė P2.12 Pu-239 integrinis tūrinis aktyvumas ore, Bq s/m³. Scenarijus TIK_D_5

Laipsniai	Sektorius	Atstumas, km														
		0,1	0,15	0,2	0,3	0,5	1	1,5	2	2,7	3,2	5	10	15	30	50
0-150	1-31	0,0E+00	0,0E+00	0,0E+00	0,0E+00	0,0E+00	0,0E+00	0,0E+00	0,0E+00	0,0E+00	0,0E+00	0,0E+00	0,0E+00	0,0E+00	0,00E+00	0,00E+00
155	32	0,0E+00	0,0E+00	0,0E+00	0,0E+00	0,0E+00	3,3E-04	3,2E-04	0,0E+00	0,0E+00	0,0E+00	0,0E+00	0,0E+00	0,0E+00	0,00E+00	0,00E+00
160	33	0,0E+00	0,0E+00	0,0E+00	0,0E+00	0,0E+00	1,9E-02	3,2E-02	2,2E-02	9,3E-03	4,8E-03	5,1E-04	0,0E+00	0,0E+00	0,00E+00	0,00E+00
165	34	0,0E+00	0,0E+00	0,0E+00	0,0E+00	5,4E-04	3,6E-01	9,4E-01	9,4E-01	6,2E-01	4,3E-01	1,1E-01	5,3E-03	5,9E-04	0,00E+00	0,00E+00
170	35	0,0E+00	0,0E+00	0,0E+00	0,0E+00	3,2E-03	2,7E+00	9,4E+00	1,2E+01	1,1E+01	9,2E+00	4,3E+00	6,9E-01	1,8E-01	1,57E-02	1,36E-03
175	36	0,0E+00	0,0E+00	0,0E+00	0,0E+00	9,0E-03	8,9E+00	3,6E+01	5,4E+01	5,9E+01	5,5E+01	3,6E+01	1,2E+01	5,2E+00	1,31E+00	3,23E-01
180	37	0,0E+00	0,0E+00	0,0E+00	0,0E+00	1,3E-02	1,3E+01	5,6E+01	8,8E+01	1,0E+02	9,9E+01	7,3E+01	3,0E+01	1,6E+01	5,61E+00	1,95E+00
185	38	0,0E+00	0,0E+00	0,0E+00	0,0E+00	9,0E-03	8,9E+00	3,6E+01	5,4E+01	5,9E+01	5,5E+01	3,6E+01	1,2E+01	5,2E+00	1,31E+00	3,23E-01
190	39	0,0E+00	0,0E+00	0,0E+00	0,0E+00	3,2E-03	2,7E+00	9,4E+00	1,2E+01	1,1E+01	9,2E+00	4,3E+00	6,9E-01	1,8E-01	1,57E-02	1,36E-03
195	40	0,0E+00	0,0E+00	0,0E+00	0,0E+00	5,4E-04	3,6E-01	9,4E-01	9,4E-01	6,2E-01	4,3E-01	1,1E-01	5,3E-03	5,9E-04	0,00E+00	0,00E+00
200	41	0,0E+00	0,0E+00	0,0E+00	0,0E+00	0,0E+00	1,9E-02	3,2E-02	2,2E-02	9,3E-03	4,8E-03	5,1E-04	0,0E+00	0,0E+00	0,00E+00	0,00E+00
205	42	0,0E+00	0,0E+00	0,0E+00	0,0E+00	0,0E+00	3,3E-04	3,2E-04	0,0E+00	0,0E+00	0,0E+00	0,0E+00	0,0E+00	0,0E+00	0,00E+00	0,00E+00
210-360	43-72	0,0E+00	0,0E+00	0,0E+00	0,0E+00	0,0E+00	0,0E+00	0,0E+00	0,0E+00	0,0E+00	0,0E+00	0,0E+00	0,0E+00	0,0E+00	0,00E+00	0,00E+00



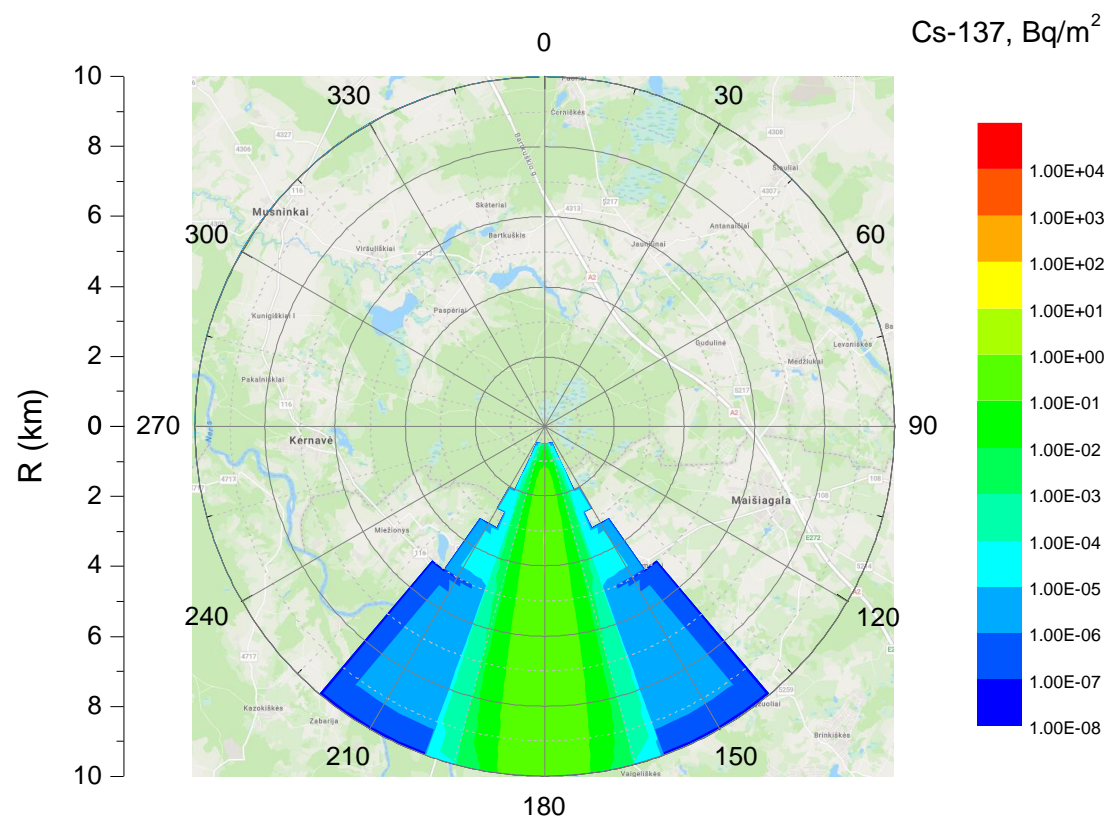
Pav. P2.7 Programa PC COSYMA įvertintas Cs-137 iškritų tankis apie MRAS scenarijui REAL1_D_0

Lentelė P2.13 Cs-137 iškritų tankis, Bq/m². Scenarijus REAL1_D_0

Laipsniai	Sektorius	Atstumas, km														
		0,1	0,15	0,2	0,3	0,5	1	1,5	2	2,7	3,2	5	10	15	30	50
0-155	1-32	0,0E+00	0,0E+00	0,0E+00	0,0E+00	0,0E+00	0,0E+00	0,0E+00	0,0E+00	0,0E+00	0,0E+00	0,0E+00	0,0E+00	0,0E+00	0,00E+00	0,00E+00
160	33	0,0E+00	0,0E+00	0,0E+00	0,0E+00	0,0E+00	5,9E-05	2,1E-04	2,0E-04	1,1E-04	6,0E-05	7,8E-06	0,0E+00	0,0E+00	0,00E+00	0,00E+00
165	34	0,0E+00	0,0E+00	0,0E+00	0,0E+00	0,0E+00	1,2E-03	6,4E-03	8,7E-03	7,2E-03	5,5E-03	1,7E-03	1,1E-04	1,4E-05	0,00E+00	0,00E+00
170	35	0,0E+00	0,0E+00	0,0E+00	0,0E+00	0,0E+00	9,5E-03	6,5E-02	1,1E-01	1,3E-01	1,2E-01	6,7E-02	1,4E-02	4,4E-03	6,08E-04	9,79E-05
175	36	0,0E+00	0,0E+00	0,0E+00	0,0E+00	0,0E+00	3,2E-02	2,5E-01	5,1E-01	6,9E-01	7,1E-01	5,7E-01	2,4E-01	1,3E-01	5,13E-02	2,37E-02
180	37	0,0E+00	0,0E+00	0,0E+00	0,0E+00	0,0E+00	4,7E-02	4,0E-01	8,4E-01	1,2E+00	1,3E+00	1,2E+00	6,0E-01	3,8E-01	2,20E-01	1,44E-01
185	38	0,0E+00	0,0E+00	0,0E+00	0,0E+00	0,0E+00	3,2E-02	2,5E-01	5,1E-01	6,9E-01	7,1E-01	5,7E-01	2,4E-01	1,3E-01	5,13E-02	2,37E-02
190	39	0,0E+00	0,0E+00	0,0E+00	0,0E+00	0,0E+00	9,5E-03	6,5E-02	1,1E-01	1,3E-01	1,2E-01	6,7E-02	1,4E-02	4,4E-03	6,08E-04	9,79E-05
195	40	0,0E+00	0,0E+00	0,0E+00	0,0E+00	0,0E+00	1,2E-03	6,4E-03	8,7E-03	7,2E-03	5,5E-03	1,7E-03	1,1E-04	1,4E-05	0,00E+00	0,00E+00
200	41	0,0E+00	0,0E+00	0,0E+00	0,0E+00	0,0E+00	5,9E-05	2,1E-04	2,0E-04	1,1E-04	6,0E-05	7,8E-06	0,0E+00	0,0E+00	0,00E+00	0,00E+00
205-360	42-72	0,0E+00	0,0E+00	0,0E+00	0,0E+00	0,0E+00	0,0E+00	0,0E+00	0,0E+00	0,0E+00	0,0E+00	0,0E+00	0,0E+00	0,0E+00	0,00E+00	0,00E+00

Lentelė P2.14 Pu-239 integrinis tūrinis aktyvumas ore, Bq s/m³. Scenarijus REAL1_D_0

Laipsniai	Sektorius	Atstumas, km														
		0,1	0,15	0,2	0,3	0,5	1	1,5	2	2,7	3,2	5	10	15	30	50
0-155	1-32	0,0E+00	0,0E+00	0,0E+00	0,0E+00	0,0E+00	0,0E+00	0,0E+00	0,0E+00	0,0E+00	0,0E+00	0,0E+00	0,0E+00	0,0E+00	0,00E+00	0,00E+00
160	33	0,0E+00	0,0E+00	0,0E+00	0,0E+00	0,0E+00	2,9E-03	1,0E-02	9,8E-03	5,2E-03	2,9E-03	3,8E-04	0,0E+00	0,0E+00	0,00E+00	0,00E+00
165	34	0,0E+00	0,0E+00	0,0E+00	0,0E+00	0,0E+00	5,9E-02	3,1E-01	4,2E-01	3,5E-01	2,7E-01	8,3E-02	5,2E-03	6,8E-04	0,00E+00	0,00E+00
170	35	0,0E+00	0,0E+00	0,0E+00	0,0E+00	0,0E+00	4,6E-01	3,2E+00	5,6E+00	6,3E+00	5,8E+00	3,3E+00	6,8E-01	2,2E-01	2,96E-02	4,77E-03
175	36	0,0E+00	0,0E+00	0,0E+00	0,0E+00	0,0E+00	1,5E+00	1,2E+01	2,5E+01	3,4E+01	3,5E+01	2,8E+01	1,2E+01	6,2E+00	2,50E+00	1,15E+00
180	37	0,0E+00	0,0E+00	0,0E+00	0,0E+00	0,0E+00	2,3E+00	1,9E+01	4,1E+01	5,8E+01	6,3E+01	5,6E+01	2,9E+01	1,9E+01	1,07E+01	7,01E+00
185	38	0,0E+00	0,0E+00	0,0E+00	0,0E+00	0,0E+00	1,5E+00	1,2E+01	2,5E+01	3,4E+01	3,5E+01	2,8E+01	1,2E+01	6,2E+00	2,50E+00	1,15E+00
190	39	0,0E+00	0,0E+00	0,0E+00	0,0E+00	0,0E+00	4,6E-01	3,2E+00	5,6E+00	6,3E+00	5,8E+00	3,3E+00	6,8E-01	2,2E-01	2,96E-02	4,77E-03
195	40	0,0E+00	0,0E+00	0,0E+00	0,0E+00	0,0E+00	5,9E-02	3,1E-01	4,2E-01	3,5E-01	2,7E-01	8,3E-02	5,2E-03	6,8E-04	0,00E+00	0,00E+00
200	41	0,0E+00	0,0E+00	0,0E+00	0,0E+00	0,0E+00	2,9E-03	1,0E-02	9,8E-03	5,2E-03	2,9E-03	3,8E-04	0,0E+00	0,0E+00	0,00E+00	0,00E+00
205-360	42-72	0,0E+00	0,0E+00	0,0E+00	0,0E+00	0,0E+00	0,0E+00	0,0E+00	0,0E+00	0,0E+00	0,0E+00	0,0E+00	0,0E+00	0,0E+00	0,00E+00	0,00E+00



Pav. P2.8 Programa PC COSYMA įvertintas Cs-137 iškritų tankis apie MRAS scenarijui REAL2_D_0

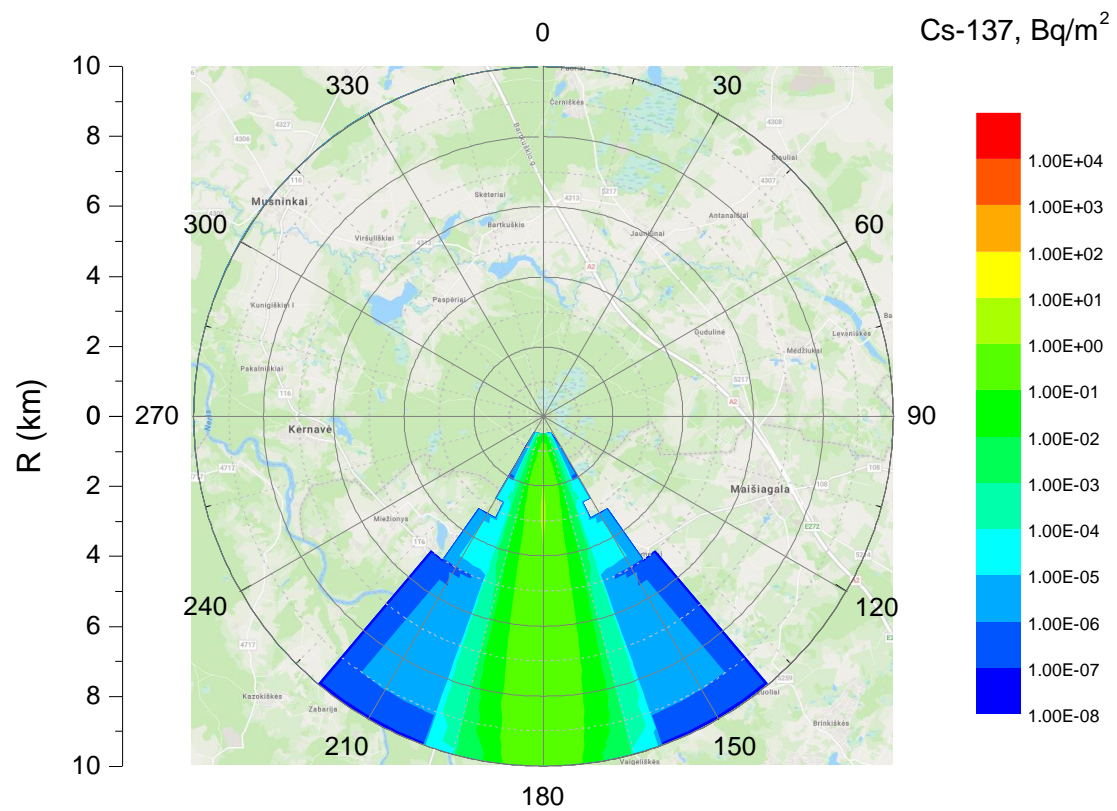
Galimų branduolinių ir radiologinių avarijų Maišiagalos radioaktyviųjų atliekų saugykloje padarinių analizė

Lentelė P2.15 Cs-137 iškritų tankis, Bq/m². Scenarijus REAL2_D_0

Laipsniai	Sektorius	Atstumas, km														
		0,1	0,15	0,2	0,3	0,5	1	1,5	2	2,7	3,2	5	10	15	30	50
0-155	1-32	0,0E+00	0,0E+00	0,0E+00	0,0E+00	0,0E+00	0,0E+00	0,0E+00	0,0E+00	0,0E+00	0,0E+00	0,00E+00	0,00E+00	0,00E+00	0,00E+00	0,00E+00
160	33	0,0E+00	0,0E+00	0,0E+00	0,0E+00	0,0E+00	4,9E-05	1,8E-04	1,7E-04	8,8E-05	5,0E-05	6,5E-06	0,00E+00	0,00E+00	0,00E+00	0,00E+00
165	34	0,0E+00	0,0E+00	0,0E+00	0,0E+00	0,0E+00	1,0E-03	5,3E-03	7,2E-03	6,0E-03	4,5E-03	1,4E-03	8,82E-05	1,16E-05	0,00E+00	0,00E+00
170	35	0,0E+00	0,0E+00	0,0E+00	0,0E+00	0,0E+00	7,9E-03	5,4E-02	9,5E-02	1,1E-01	9,8E-02	5,5E-02	1,15E-02	3,67E-03	5,04E-04	8,11E-05
175	36	0,0E+00	0,0E+00	0,0E+00	0,0E+00	0,0E+00	2,6E-02	2,1E-01	4,2E-01	5,7E-01	5,9E-01	4,7E-01	1,96E-01	1,05E-01	4,25E-02	1,97E-02
180	37	0,0E+00	0,0E+00	0,0E+00	0,0E+00	0,0E+00	3,9E-02	3,3E-01	6,9E-01	9,9E-01	1,1E+00	9,6E-01	4,99E-01	3,17E-01	1,82E-01	1,19E-01
185	38	0,0E+00	0,0E+00	0,0E+00	0,0E+00	0,0E+00	2,6E-02	2,1E-01	4,2E-01	5,7E-01	5,9E-01	4,7E-01	1,96E-01	1,05E-01	4,25E-02	1,97E-02
190	39	0,0E+00	0,0E+00	0,0E+00	0,0E+00	0,0E+00	7,9E-03	5,4E-02	9,5E-02	1,1E-01	9,8E-02	5,5E-02	1,15E-02	3,67E-03	5,04E-04	8,11E-05
195	40	0,0E+00	0,0E+00	0,0E+00	0,0E+00	0,0E+00	1,0E-03	5,3E-03	7,2E-03	6,0E-03	4,5E-03	1,4E-03	8,82E-05	1,16E-05	0,00E+00	0,00E+00
200	41	0,0E+00	0,0E+00	0,0E+00	0,0E+00	0,0E+00	4,9E-05	1,8E-04	1,7E-04	8,8E-05	5,0E-05	6,5E-06	0,00E+00	0,00E+00	0,00E+00	0,00E+00
205-360	42-72	0,0E+00	0,0E+00	0,0E+00	0,0E+00	0,0E+00	0,0E+00	0,0E+00	0,0E+00	0,0E+00	0,0E+00	0,00E+00	0,00E+00	0,00E+00	0,00E+00	0,00E+00

Lentelė P2.16 Pu-239 integrinis tūrinis aktyvumas ore, Bq s/m³. Scenarijus REAL2_D_0

Laipsniai	Sektorius	Atstumas, km														
		0,1	0,15	0,2	0,3	0,5	1	1,5	2	2,7	3,2	5	10	15	30	50
0-155	1-32	0,0E+00	0,0E+00	0,0E+00	0,0E+00	0,0E+00	0,0E+00	0,0E+00	0,0E+00	0,0E+00	0,0E+00	0,00E+00	0,00E+00	0,00E+00	0,00E+00	0,00E+00
160	33	0,0E+00	0,0E+00	0,0E+00	0,0E+00	0,0E+00	2,9E-03	1,0E-02	9,8E-03	5,2E-03	2,9E-03	3,8E-04	0,00E+00	0,00E+00	0,00E+00	0,00E+00
165	34	0,0E+00	0,0E+00	0,0E+00	0,0E+00	0,0E+00	5,9E-02	3,1E-01	4,2E-01	3,5E-01	2,7E-01	8,3E-02	5,18E-03	6,81E-04	0,00E+00	0,00E+00
170	35	0,0E+00	0,0E+00	0,0E+00	0,0E+00	0,0E+00	4,6E-01	3,2E+00	5,6E+00	6,3E+00	5,8E+00	3,3E+00	6,75E-01	2,15E-01	2,96E-02	4,77E-03
175	36	0,0E+00	0,0E+00	0,0E+00	0,0E+00	0,0E+00	1,5E+00	1,2E+01	2,5E+01	3,4E+01	3,5E+01	2,8E+01	1,15E+01	6,18E+00	2,50E+00	1,15E+00
180	37	0,0E+00	0,0E+00	0,0E+00	0,0E+00	0,0E+00	2,3E+00	1,9E+01	4,1E+01	5,8E+01	6,3E+01	5,6E+01	2,93E+01	1,86E+01	1,07E+01	7,01E+00
185	38	0,0E+00	0,0E+00	0,0E+00	0,0E+00	0,0E+00	1,5E+00	1,2E+01	2,5E+01	3,4E+01	3,5E+01	2,8E+01	1,15E+01	6,18E+00	2,50E+00	1,15E+00
190	39	0,0E+00	0,0E+00	0,0E+00	0,0E+00	0,0E+00	4,6E-01	3,2E+00	5,6E+00	6,3E+00	5,8E+00	3,3E+00	6,75E-01	2,15E-01	2,96E-02	4,77E-03
195	40	0,0E+00	0,0E+00	0,0E+00	0,0E+00	0,0E+00	5,9E-02	3,1E-01	4,2E-01	3,5E-01	2,7E-01	8,3E-02	5,18E-03	6,81E-04	0,00E+00	0,00E+00
200	41	0,0E+00	0,0E+00	0,0E+00	0,0E+00	0,0E+00	2,9E-03	1,0E-02	9,8E-03	5,2E-03	2,9E-03	3,8E-04	0,00E+00	0,00E+00	0,00E+00	0,00E+00
205-360	42-72	0,0E+00	0,0E+00	0,0E+00	0,0E+00	0,0E+00	0,0E+00	0,0E+00	0,0E+00	0,0E+00	0,0E+00	0,00E+00	0,00E+00	0,00E+00	0,00E+00	0,00E+00



Pav. P2.9 Programa PC COSYMA įvertintas Cs-137 iškritų tankis apie MRAS scenarijui REAL3_D_0

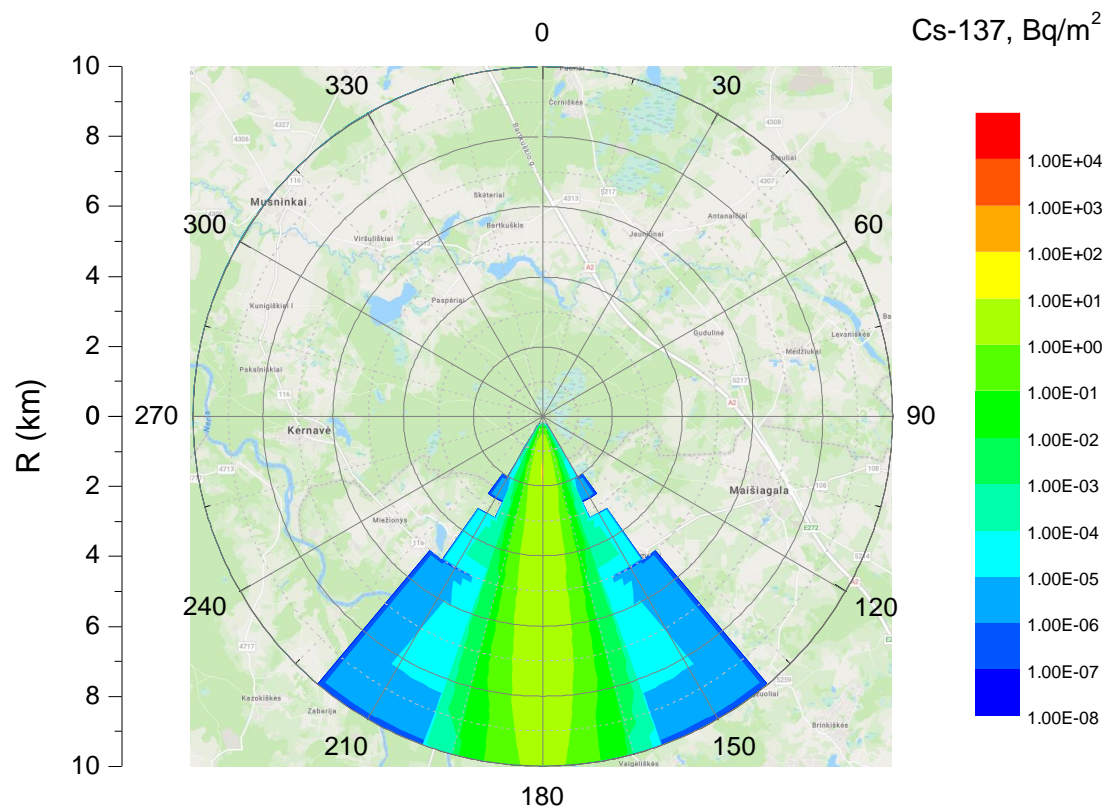
Lentelė P2.17 Cs-137 iškritų tankis, Bq/m². Scenarijus REAL3_D_0

Laipsniai	Sektorius	Atstumas, km														
		0,1	0,15	0,2	0,3	0,5	1	1,5	2	2,7	3,2	5	10	15	30	50
0-150	1-31	0,0E+00	0,0E+00	0,0E+00	0,0E+00	0,0E+00	0,0E+00	0,0E+00	0,0E+00	0,0E+00	0,0E+00	0,00E+00	0,00E+00	0,00E+00	0,00E+00	0,00E+00
155	32	0,0E+00	0,0E+00	0,0E+00	0,0E+00	0,0E+00	7,0E-06	4,7E-06	0,0E+00	0,0E+00	0,0E+00	0,00E+00	0,00E+00	0,00E+00	0,00E+00	0,00E+00
160	33	0,0E+00	0,0E+00	0,0E+00	0,0E+00	0,0E+00	3,8E-04	4,6E-04	2,8E-04	1,1E-04	5,3E-05	5,5E-06	0,00E+00	0,00E+00	0,00E+00	0,00E+00
165	34	0,0E+00	0,0E+00	0,0E+00	0,0E+00	0,0E+00	7,1E-03	1,3E-02	1,2E-02	7,1E-03	4,7E-03	1,2E-03	6,40E-05	8,13E-06	0,00E+00	0,00E+00
170	35	0,0E+00	0,0E+00	0,0E+00	0,0E+00	0,0E+00	5,2E-02	1,3E-01	1,5E-01	1,2E-01	1,0E-01	4,7E-02	8,31E-03	2,57E-03	3,53E-04	5,68E-05
175	36	0,0E+00	0,0E+00	0,0E+00	0,0E+00	0,0E+00	1,7E-01	5,0E-01	6,6E-01	6,6E-01	6,1E-01	3,9E-01	1,42E-01	7,37E-02	2,98E-02	1,38E-02
180	37	0,0E+00	0,0E+00	0,0E+00	0,0E+00	0,0E+00	2,5E-01	7,7E-01	1,1E+00	1,1E+00	1,1E+00	8,0E-01	3,60E-01	2,22E-01	1,28E-01	8,36E-02
185	38	0,0E+00	0,0E+00	0,0E+00	0,0E+00	0,0E+00	1,7E-01	5,0E-01	6,6E-01	6,6E-01	6,1E-01	3,9E-01	1,42E-01	7,37E-02	2,98E-02	1,38E-02
190	39	0,0E+00	0,0E+00	0,0E+00	0,0E+00	0,0E+00	5,2E-02	1,3E-01	1,5E-01	1,2E-01	1,0E-01	4,7E-02	8,31E-03	2,57E-03	3,53E-04	5,68E-05
195	40	0,0E+00	0,0E+00	0,0E+00	0,0E+00	0,0E+00	7,1E-03	1,3E-02	1,2E-02	7,1E-03	4,7E-03	1,2E-03	6,40E-05	8,13E-06	0,00E+00	0,00E+00
200	41	0,0E+00	0,0E+00	0,0E+00	0,0E+00	0,0E+00	3,8E-04	4,6E-04	2,8E-04	1,1E-04	5,3E-05	5,5E-06	0,00E+00	0,00E+00	0,00E+00	0,00E+00
205	42	0,0E+00	0,0E+00	0,0E+00	0,0E+00	0,0E+00	7,0E-06	4,7E-06	0,0E+00	0,0E+00	0,0E+00	0,00E+00	0,00E+00	0,00E+00	0,00E+00	0,00E+00
210-360	43-72	0,0E+00	0,0E+00	0,0E+00	0,0E+00	0,0E+00	0,0E+00	0,0E+00	0,0E+00	0,0E+00	0,0E+00	0,00E+00	0,00E+00	0,00E+00	0,00E+00	0,00E+00

Galimų branduolinių ir radiologinių avarijų Maišiagalos radioaktyviųjų atliekų saugykloje padarinių analizė

Lentelė P2.18 Pu-239 integrinis tūrinis aktyvumas ore, Bq s/m³. Scenarijus REAL3_D_0

Laipsniai	Sektorius	Atstumas, km														
		0,1	0,15	0,2	0,3	0,5	1	1,5	2	2,7	3,2	5	10	15	30	50
0-150	1-31	0,0E+00	0,0E+00	0,0E+00	0,0E+00	0,0E+00	0,0E+00	0,0E+00	0,0E+00	0,0E+00	0,0E+00	0,00E+00	0,00E+00	0,00E+00	0,00E+00	0,00E+00
155	32	0,0E+00	0,0E+00	0,0E+00	0,0E+00	0,0E+00	4,2E-04	2,8E-04	0,0E+00	0,0E+00	0,0E+00	0,00E+00	0,00E+00	0,00E+00	0,00E+00	0,00E+00
160	33	0,0E+00	0,0E+00	0,0E+00	0,0E+00	0,0E+00	2,3E-02	2,8E-02	1,6E-02	6,3E-03	3,2E-03	3,3E-04	0,00E+00	0,00E+00	0,00E+00	0,00E+00
165	34	0,0E+00	0,0E+00	0,0E+00	0,0E+00	0,0E+00	4,2E-01	7,9E-01	6,9E-01	4,2E-01	2,8E-01	7,0E-02	3,79E-03	4,82E-04	0,00E+00	0,00E+00
170	35	0,0E+00	0,0E+00	0,0E+00	0,0E+00	0,0E+00	3,1E+00	7,8E+00	8,8E+00	7,4E+00	6,0E+00	2,8E+00	4,93E-01	1,52E-01	2,09E-02	3,37E-03
175	36	0,0E+00	0,0E+00	0,0E+00	0,0E+00	0,0E+00	1,0E+01	3,0E+01	3,9E+01	3,9E+01	3,6E+01	2,3E+01	8,41E+00	4,37E+00	1,76E+00	8,16E-01
180	37	0,0E+00	0,0E+00	0,0E+00	0,0E+00	0,0E+00	1,5E+01	4,6E+01	6,3E+01	6,8E+01	6,5E+01	4,7E+01	2,14E+01	1,32E+01	7,58E+00	4,96E+00
185	38	0,0E+00	0,0E+00	0,0E+00	0,0E+00	0,0E+00	1,0E+01	3,0E+01	3,9E+01	3,9E+01	3,6E+01	2,3E+01	8,41E+00	4,37E+00	1,76E+00	8,16E-01
190	39	0,0E+00	0,0E+00	0,0E+00	0,0E+00	0,0E+00	3,1E+00	7,8E+00	8,8E+00	7,4E+00	6,0E+00	2,8E+00	4,93E-01	1,52E-01	2,09E-02	3,37E-03
195	40	0,0E+00	0,0E+00	0,0E+00	0,0E+00	0,0E+00	4,2E-01	7,9E-01	6,9E-01	4,2E-01	2,8E-01	7,0E-02	3,79E-03	4,82E-04	0,00E+00	0,00E+00
200	41	0,0E+00	0,0E+00	0,0E+00	0,0E+00	0,0E+00	2,3E-02	2,8E-02	1,6E-02	6,3E-03	3,2E-03	3,3E-04	0,00E+00	0,00E+00	0,00E+00	0,00E+00
205	42	0,0E+00	0,0E+00	0,0E+00	0,0E+00	0,0E+00	4,2E-04	2,8E-04	0,0E+00	0,0E+00	0,0E+00	0,0E+00	0,00E+00	0,00E+00	0,00E+00	0,00E+00
210-360	43-72	0,0E+00	0,0E+00	0,0E+00	0,0E+00	0,0E+00	0,0E+00	0,0E+00	0,0E+00	0,0E+00	0,0E+00	0,0E+00	0,00E+00	0,00E+00	0,00E+00	0,00E+00



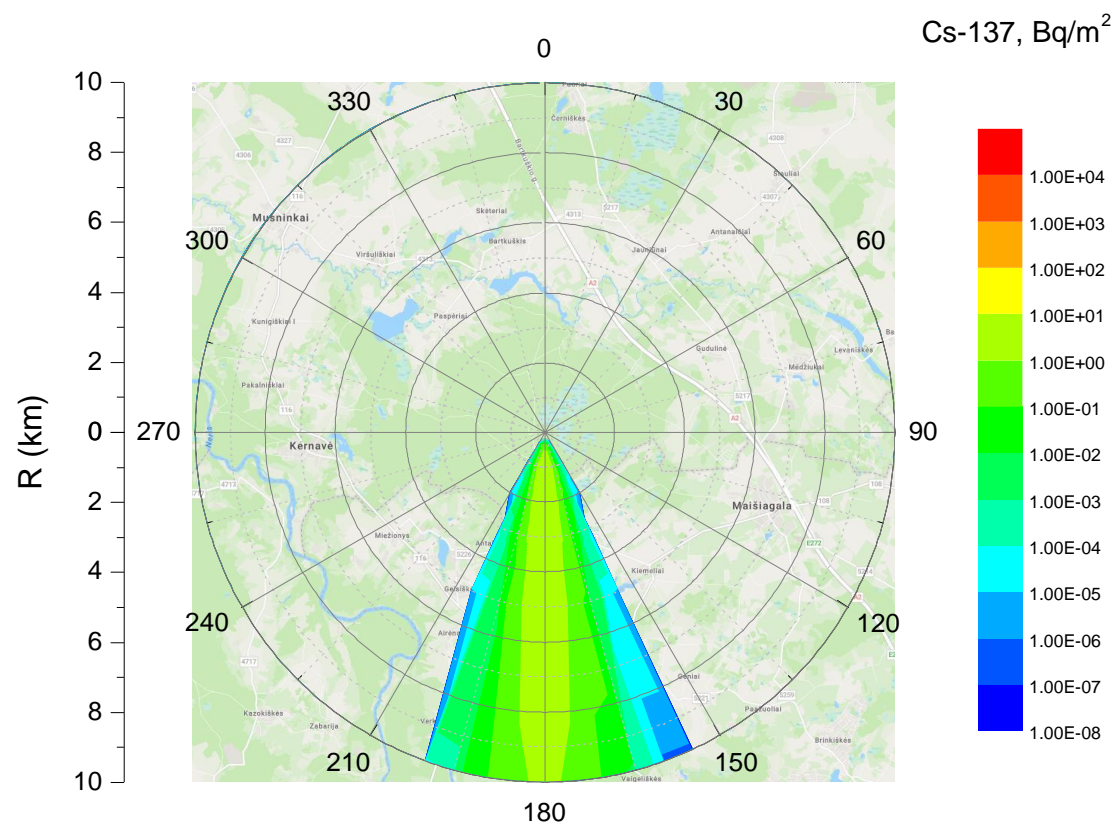
Pav. P2.10 Programa PC COSYMA įvertintas Cs-137 iškritų tankis apie MRAS scenarijui MED1_D_0

Lentelė P2.19 Cs-137 iškritų tankis, Bq/m², Scenarijus MED1_D_0

Laipsniai	Sektorius	Atstumas, km														
		0,1	0,15	0,2	0,3	0,5	1	1,5	2	2,7	3,2	5	10	15	30	50
0-150	1-31	0,0E+00	0,0E+00	0,0E+00	0,0E+00	0,0E+00	0,0E+00	0,0E+00	0,0E+00	0,0E+00	0,0E+00	0,00E+00	0,00E+00	0,00E+00	0,00E+00	0,00E+00
155	32	0,0E+00	0,0E+00	0,0E+00	0,0E+00	3,0E-04	3,6E-04	8,4E-05	1,9E-05	0,0E+00	0,0E+00	0,00E+00	0,00E+00	0,00E+00	0,00E+00	0,00E+00
160	33	0,0E+00	0,0E+00	0,0E+00	9,1E-05	6,8E-03	1,7E-02	7,7E-03	3,0E-03	8,5E-04	3,8E-04	3,2E-05	0,00E+00	0,00E+00	0,00E+00	0,00E+00
165	34	0,0E+00	0,0E+00	0,0E+00	7,6E-04	6,7E-02	3,0E-01	2,1E-01	1,2E-01	5,5E-02	3,3E-02	6,8E-03	3,18E-04	3,91E-05	0,00E+00	0,00E+00
170	35	0,0E+00	0,0E+00	0,0E+00	3,2E-03	3,2E-01	2,1E+00	2,0E+00	1,5E+00	9,6E-01	7,0E-01	2,6E-01	4,12E-02	1,24E-02	1,55E-03	2,73E-04
175	36	0,0E+00	0,0E+00	0,0E+00	7,4E-03	7,9E-01	6,4E+00	7,5E+00	6,6E+00	5,1E+00	4,2E+00	2,2E+00	7,02E-01	3,55E-01	1,38E-01	6,60E-02
180	37	0,0E+00	0,0E+00	0,0E+00	9,8E-03	1,1E+00	9,2E+00	1,2E+01	1,1E+01	8,7E+00	7,5E+00	4,5E+00	1,78E+00	1,07E+00	6,10E-01	4,01E-01
185	38	0,0E+00	0,0E+00	0,0E+00	7,4E-03	7,9E-01	6,4E+00	7,5E+00	6,6E+00	5,1E+00	4,2E+00	2,2E+00	7,02E-01	3,55E-01	1,38E-01	6,60E-02
190	39	0,0E+00	0,0E+00	0,0E+00	3,2E-03	3,2E-01	2,1E+00	2,0E+00	1,5E+00	9,6E-01	7,0E-01	2,6E-01	4,12E-02	1,24E-02	1,55E-03	2,73E-04
195	40	0,0E+00	0,0E+00	0,0E+00	7,6E-04	6,7E-02	3,0E-01	2,1E-01	1,2E-01	5,5E-02	3,3E-02	6,8E-03	3,18E-04	3,91E-05	0,00E+00	0,00E+00
200	41	0,0E+00	0,0E+00	0,0E+00	9,1E-05	6,8E-03	1,7E-02	7,7E-03	3,0E-03	8,5E-04	3,8E-04	3,2E-05	0,00E+00	0,00E+00	0,00E+00	0,00E+00
205	42	0,0E+00	0,0E+00	0,0E+00	0,0E+00	3,0E-04	3,6E-04	8,4E-05	1,9E-05	0,0E+00	0,0E+00	0,00E+00	0,00E+00	0,00E+00	0,00E+00	0,00E+00
210-360	43-72	0,0E+00	0,0E+00	0,0E+00	0,0E+00	0,0E+00	0,0E+00	0,0E+00	0,0E+00	0,0E+00	0,0E+00	0,00E+00	0,00E+00	0,00E+00	0,00E+00	0,00E+00

Lentelė P2.20 Pu-239 integrinis tūrinis aktyvumas ore, Bq s/m³. Scenarijus MED1_D_0

Laipsniai	Sektorius	Atstumas, km														
		0,1	0,15	0,2	0,3	0,5	1	1,5	2	2,7	3,2	5	10	15	30	50
0-150	1-31	0,0E+00	0,0E+00	0,0E+00	0,0E+00	0,0E+00	0,0E+00	0,0E+00	0,0E+00	0,0E+00	0,0E+00	0,00E+00	0,00E+00	0,00E+00	0,00E+00	0,00E+00
155	32	0,0E+00	0,0E+00	0,0E+00	0,0E+00	1,5E-02	1,8E-02	4,1E-03	9,2E-04	0,0E+00	0,0E+00	0,00E+00	0,00E+00	0,00E+00	0,00E+00	0,00E+00
160	33	0,0E+00	0,0E+00	0,0E+00	4,4E-03	3,3E-01	8,5E-01	3,8E-01	1,5E-01	4,2E-02	1,8E-02	1,6E-03	0,00E+00	0,00E+00	0,00E+00	0,00E+00
165	34	0,0E+00	0,0E+00	0,0E+00	3,7E-02	3,3E+00	1,4E+01	1,0E+01	5,9E+00	2,7E+00	1,6E+00	3,3E-01	1,55E-02	1,90E-03	0,00E+00	0,00E+00
170	35	0,0E+00	0,0E+00	0,0E+00	1,6E-01	1,6E+01	1,0E+02	9,8E+01	7,4E+01	4,7E+01	3,4E+01	1,3E+01	2,00E+00	6,02E-01	7,52E-02	1,33E-02
175	36	0,0E+00	0,0E+00	0,0E+00	3,6E-01	3,8E+01	3,1E+02	3,6E+02	3,2E+02	2,5E+02	2,0E+02	1,1E+02	3,41E+01	1,73E+01	6,74E+00	3,21E+00
180	37	0,0E+00	0,0E+00	0,0E+00	4,7E-01	5,2E+01	4,5E+02	5,6E+02	5,2E+02	4,2E+02	3,6E+02	2,2E+02	8,67E+01	5,20E+01	2,97E+01	1,95E+01
185	38	0,0E+00	0,0E+00	0,0E+00	3,6E-01	3,8E+01	3,1E+02	3,6E+02	3,2E+02	2,5E+02	2,0E+02	1,1E+02	3,41E+01	1,73E+01	6,74E+00	3,21E+00
190	39	0,0E+00	0,0E+00	0,0E+00	1,6E-01	1,6E+01	1,0E+02	9,8E+01	7,4E+01	4,7E+01	3,4E+01	1,3E+01	2,00E+00	6,02E-01	7,52E-02	1,33E-02
195	40	0,0E+00	0,0E+00	0,0E+00	3,7E-02	3,3E+00	1,4E+01	1,0E+01	5,9E+00	2,7E+00	1,6E+00	3,3E-01	1,55E-02	1,90E-03	0,00E+00	0,00E+00
200	41	0,0E+00	0,0E+00	0,0E+00	4,4E-03	3,3E-01	8,5E-01	3,8E-01	1,5E-01	4,2E-02	1,8E-02	1,6E-03	0,00E+00	0,00E+00	0,00E+00	0,00E+00
205	42	0,0E+00	0,0E+00	0,0E+00	0,0E+00	1,5E-02	1,8E-02	4,1E-03	9,2E-04	0,0E+00	0,0E+00	0,00E+00	0,00E+00	0,00E+00	0,00E+00	0,00E+00
210-360	43-72	0,0E+00	0,0E+00	0,0E+00	0,0E+00	0,0E+00	0,0E+00	0,0E+00	0,0E+00	0,0E+00	0,0E+00	0,00E+00	0,00E+00	0,00E+00	0,00E+00	0,00E+00



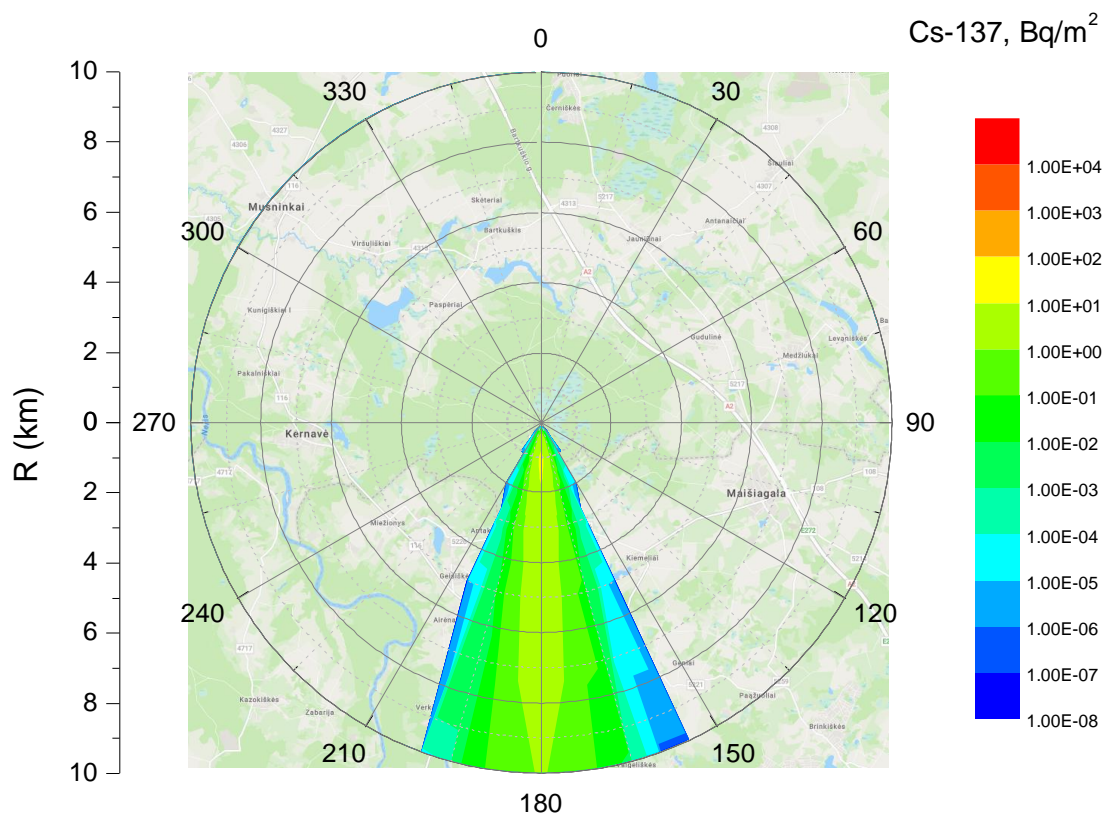
Pav. P2.11 Programa PC COSYMA įvertintas Cs-137 iškritų tankis apie MRAS scenarijui MED2_D_0

Lentelė P2.21 Cs-137 iškritų tankis, Bq/m². Scenarijus MED2_D_0

Laipsniai	Sektorius	Atstumas, km														
		0,1	0,15	0,2	0,3	0,5	1	1,5	2	2,7	3,2	5	10	15	30	50
0-150	1-31	0,0E+00	0,0E+00	0,0E+00	0,0E+00	0,0E+00	0,0E+00	0,0E+00	0,0E+00	0,0E+00	0,0E+00	0,00E+00	0,00E+00	0,00E+00	0,00E+00	0,00E+00
155	32	0,0E+00	0,0E+00	0,0E+00	0,0E+00	2,5E-04	3,0E-04	7,0E-05	1,6E-05	0,0E+00	0,0E+00	0,00E+00	0,00E+00	0,00E+00	0,00E+00	0,00E+00
160	33	0,0E+00	0,0E+00	0,0E+00	7,6E-05	5,7E-03	1,4E-02	6,4E-03	2,5E-03	7,1E-04	3,1E-04	2,6E-05	0,00E+00	0,00E+00	0,00E+00	0,00E+00
165	34	0,0E+00	0,0E+00	0,0E+00	6,3E-04	5,6E-02	2,5E-01	1,7E-01	1,0E-01	4,6E-02	2,7E-02	5,6E-03	2,63E-04	3,24E-05	0,00E+00	0,00E+00
170	35	0,0E+00	0,0E+00	0,0E+00	2,7E-03	2,6E-01	1,7E+00	1,7E+00	1,3E+00	7,9E-01	5,8E-01	2,2E-01	3,41E-02	1,02E-02	1,28E-03	2,26E-04
175	36	0,0E+00	0,0E+00	0,0E+00	6,1E-03	6,5E-01	5,3E+00	6,2E+00	5,5E+00	4,2E+00	3,4E+00	1,9E+00	5,81E-01	2,94E-01	1,15E-01	5,47E-02
180	37	0,0E+00	0,0E+00	0,0E+00	8,1E-03	8,8E-01	7,6E+00	9,6E+00	8,9E+00	7,2E+00	6,2E+00	3,7E+00	1,48E+00	8,85E-01	5,06E-01	3,32E-01
185	38	0,0E+00	0,0E+00	0,0E+00	6,1E-03	6,5E-01	5,3E+00	6,2E+00	5,5E+00	4,2E+00	3,4E+00	1,9E+00	5,81E-01	2,94E-01	1,15E-01	5,47E-02
190	39	0,0E+00	0,0E+00	0,0E+00	2,7E-03	2,6E-01	1,7E+00	1,7E+00	1,3E+00	7,9E-01	5,8E-01	2,2E-01	3,41E-02	1,02E-02	1,28E-03	2,26E-04
195	40	0,0E+00	0,0E+00	0,0E+00	6,3E-04	5,6E-02	2,5E-01	1,7E-01	1,0E-01	4,6E-02	2,7E-02	5,6E-03	2,63E-04	3,24E-05	0,00E+00	0,00E+00
200	41	0,0E+00	0,0E+00	0,0E+00	7,6E-05	5,7E-03	1,4E-02	6,4E-03	2,5E-03	7,1E-04	3,1E-04	2,6E-05	0,00E+00	0,00E+00	0,00E+00	0,00E+00
205	42	0,0E+00	0,0E+00	0,0E+00	0,0E+00	2,5E-04	3,0E-04	7,0E-05	1,6E-05	0,0E+00	0,0E+00	0,00E+00	0,00E+00	0,00E+00	0,00E+00	0,00E+00
210-360	43-72	0,0E+00	0,0E+00	0,0E+00	0,0E+00	0,0E+00	0,0E+00	0,0E+00	0,0E+00	0,0E+00	0,0E+00	0,00E+00	0,00E+00	0,00E+00	0,00E+00	0,00E+00

Lentelė P2.22 Pu-239 integrinis tūrinis aktyvumas ore, Bq s/m³. Scenarijus MED2_D_0

Laipsniai	Sektorius	Atstumas, km														
		0,1	0,15	0,2	0,3	0,5	1	1,5	2	2,7	3,2	5	10	15	30	50
0-150	1-31	0,0E+00	0,0E+00	0,0E+00	0,0E+00	0,0E+00	0,0E+00	0,0E+00	0,0E+00	0,0E+00	0,0E+00	0,00E+00	0,00E+00	0,00E+00	0,00E+00	0,00E+00
155	32	0,0E+00	0,0E+00	0,0E+00	0,0E+00	1,5E-02	1,8E-02	4,1E-03	9,2E-04	0,0E+00	0,0E+00	0,00E+00	0,00E+00	0,00E+00	0,00E+00	0,00E+00
160	33	0,0E+00	0,0E+00	0,0E+00	4,4E-03	3,3E-01	8,5E-01	3,8E-01	1,5E-01	4,2E-02	1,8E-02	1,6E-03	0,00E+00	0,00E+00	0,00E+00	0,00E+00
165	34	0,0E+00	0,0E+00	0,0E+00	3,7E-02	3,3E+00	1,4E+01	1,0E+01	5,9E+00	2,7E+00	1,6E+00	3,3E-01	1,55E-02	1,90E-03	0,00E+00	0,00E+00
170	35	0,0E+00	0,0E+00	0,0E+00	1,6E-01	1,6E+01	1,0E+02	9,8E+01	7,4E+01	4,7E+01	3,4E+01	1,3E+01	2,00E+00	6,02E-01	7,52E-02	1,33E-02
175	36	0,0E+00	0,0E+00	0,0E+00	3,6E-01	3,8E+01	3,1E+02	3,6E+02	3,2E+02	2,5E+02	2,0E+02	1,1E+02	3,41E+01	1,73E+01	6,74E+00	3,21E+00
180	37	0,0E+00	0,0E+00	0,0E+00	4,7E-01	5,2E+01	4,5E+02	5,6E+02	5,2E+02	4,2E+02	3,6E+02	2,2E+02	8,67E+01	5,20E+01	2,97E+01	1,95E+01
185	38	0,0E+00	0,0E+00	0,0E+00	3,6E-01	3,8E+01	3,1E+02	3,6E+02	3,2E+02	2,5E+02	2,0E+02	1,1E+02	3,41E+01	1,73E+01	6,74E+00	3,21E+00
190	39	0,0E+00	0,0E+00	0,0E+00	1,6E-01	1,6E+01	1,0E+02	9,8E+01	7,4E+01	4,7E+01	3,4E+01	1,3E+01	2,00E+00	6,02E-01	7,52E-02	1,33E-02
195	40	0,0E+00	0,0E+00	0,0E+00	3,7E-02	3,3E+00	1,4E+01	1,0E+01	5,9E+00	2,7E+00	1,6E+00	3,3E-01	1,55E-02	1,90E-03	0,00E+00	0,00E+00
200	41	0,0E+00	0,0E+00	0,0E+00	4,4E-03	3,3E-01	8,5E-01	3,8E-01	1,5E-01	4,2E-02	1,8E-02	1,6E-03	0,00E+00	0,00E+00	0,00E+00	0,00E+00
205	42	0,0E+00	0,0E+00	0,0E+00	0,0E+00	1,5E-02	1,8E-02	4,1E-03	9,2E-04	0,0E+00	0,0E+00	0,00E+00	0,00E+00	0,00E+00	0,00E+00	0,00E+00
210-360	43-72	0,0E+00	0,0E+00	0,0E+00	0,0E+00	0,0E+00	0,0E+00	0,0E+00	0,0E+00	0,0E+00	0,0E+00	0,00E+00	0,00E+00	0,00E+00	0,00E+00	0,00E+00



Pav. P2.12 Programa PC COSYMA įvertintas Cs-137 iškritų tankis apie MRAS scenarijui MED3_D_0

Lentelė P2.23 Cs-137 iškritų tankis, Bq/m². Scenarijus MED3_D_0

Laipsniai	Sektorius	Atstumas, km														
		0,1	0,15	0,2	0,3	0,5	1	1,5	2	2,7	3,2	5	10	15	30	50
0-145	1-30	0,0E+00	0,0E+00	0,0E+00	0,0E+00	0,0E+00	0,0E+00	0,0E+00	0,0E+00	0,0E+00	0,0E+00	0,00E+00	0,00E+00	0,00E+00	0,00E+00	0,00E+00
150	31	0,0E+00	0,0E+00	0,0E+00	1,4E-05	4,0E-05	0,0E+00	0,0E+00	0,0E+00	0,0E+00	0,0E+00	0,00E+00	0,00E+00	0,00E+00	0,00E+00	0,00E+00
155	32	0,0E+00	0,0E+00	8,0E-06	4,6E-04	2,1E-03	5,5E-04	8,7E-05	1,7E-05	0,0E+00	0,0E+00	0,00E+00	0,00E+00	0,00E+00	0,00E+00	0,00E+00
160	33	0,0E+00	0,0E+00	1,1E-04	6,5E-03	4,2E-02	2,6E-02	7,8E-03	2,6E-03	6,6E-04	2,8E-04	2,2E-05	0,00E+00	0,00E+00	0,00E+00	0,00E+00
165	34	0,0E+00	0,0E+00	6,8E-04	4,5E-02	3,8E-01	4,2E-01	2,1E-01	1,0E-01	4,2E-02	2,4E-02	4,6E-03	2,04E-04	2,49E-05	0,00E+00	0,00E+00
170	35	0,0E+00	1,3E-05	2,5E-03	1,7E-01	1,7E+00	2,9E+00	2,0E+00	1,3E+00	7,3E-01	5,1E-01	1,8E-01	2,64E-02	7,86E-03	1,02E-03	1,86E-04
175	36	0,0E+00	2,9E-05	5,2E-03	3,6E-01	4,1E+00	8,7E+00	7,3E+00	5,5E+00	3,8E+00	3,0E+00	1,5E+00	4,51E-01	2,25E-01	8,88E-02	4,27E-02
180	37	0,0E+00	3,7E-05	6,6E-03	4,7E-01	5,4E+00	1,3E+01	1,1E+01	9,0E+00	6,6E+00	5,4E+00	3,0E+00	1,14E+00	6,79E-01	3,85E-01	2,55E-01
185	38	0,0E+00	2,9E-05	5,2E-03	3,6E-01	4,1E+00	8,7E+00	7,3E+00	5,5E+00	3,8E+00	3,0E+00	1,5E+00	4,51E-01	2,25E-01	8,88E-02	4,27E-02
190	39	0,0E+00	1,3E-05	2,5E-03	1,7E-01	1,7E+00	2,9E+00	2,0E+00	1,3E+00	7,3E-01	5,1E-01	1,8E-01	2,64E-02	7,86E-03	1,02E-03	1,86E-04
195	40	0,0E+00	0,0E+00	6,8E-04	4,5E-02	3,8E-01	4,2E-01	2,1E-01	1,0E-01	4,2E-02	2,4E-02	4,6E-03	2,04E-04	2,49E-05	0,00E+00	0,00E+00
200	41	0,0E+00	0,0E+00	1,1E-04	6,5E-03	4,2E-02	2,6E-02	7,8E-03	2,6E-03	6,6E-04	2,8E-04	2,2E-05	0,00E+00	0,00E+00	0,00E+00	0,00E+00
205	42	0,0E+00	0,0E+00	8,0E-06	4,6E-04	2,1E-03	5,5E-04	8,7E-05	1,7E-05	0,0E+00	0,0E+00	0,00E+00	0,00E+00	0,00E+00	0,00E+00	0,00E+00
210	43	0,0E+00	0,0E+00	0,0E+00	1,4E-05	4,0E-05	0,0E+00	0,0E+00	0,0E+00	0,0E+00	0,0E+00	0,00E+00	0,00E+00	0,00E+00	0,00E+00	0,00E+00
215-360	44-72	0,0E+00	0,0E+00	0,0E+00	0,0E+00	0,0E+00	0,0E+00	0,0E+00	0,0E+00	0,0E+00	0,0E+00	0,00E+00	0,00E+00	0,00E+00	0,00E+00	0,00E+00

Lentelė P2.24 Pu-239 integrinis tūrinis aktyvumas ore, Bq s/m³. Scenarijus MED3_D_0

Laipsniai	Sektorius	Atstumas, km														
		0,1	0,15	0,2	0,3	0,5	1	1,5	2	2,7	3,2	5	10	15	30	50
0-145	1-30	0,0E+00	0,0E+00	0,0E+00	0,0E+00	0,0E+00	0,0E+00	0,0E+00	0,0E+00	0,0E+00	0,0E+00	0,00E+00	0,00E+00	0,00E+00	0,00E+00	0,00E+00
150	31	0,0E+00	0,0E+00	0,0E+00	8,2E-04	2,4E-03	0,0E+00	0,0E+00	0,0E+00	0,0E+00	0,0E+00	0,00E+00	0,00E+00	0,00E+00	0,00E+00	0,00E+00
155	32	0,0E+00	0,0E+00	4,8E-04	2,7E-02	1,3E-01	3,3E-02	5,2E-03	9,8E-04	0,0E+00	0,0E+00	0,00E+00	0,00E+00	0,00E+00	0,00E+00	0,00E+00
160	33	0,0E+00	0,0E+00	6,2E-03	3,9E-01	2,5E+00	1,5E+00	4,6E-01	1,5E-01	3,9E-02	1,6E-02	1,3E-03	0,00E+00	0,00E+00	0,00E+00	0,00E+00
165	34	0,0E+00	0,0E+00	4,1E-02	2,7E+00	2,2E+01	2,5E+01	1,2E+01	6,1E+00	2,5E+00	1,4E+00	2,7E-01	1,21E-02	1,47E-03	0,00E+00	0,00E+00
170	35	0,0E+00	7,9E-04	1,5E-01	9,9E+00	1,0E+02	1,7E+02	1,2E+02	7,5E+01	4,3E+01	3,0E+01	1,1E+01	1,57E+00	4,66E-01	6,05E-02	1,10E-02
175	36	0,0E+00	1,7E-03	3,1E-01	2,1E+01	2,4E+02	5,2E+02	4,3E+02	3,3E+02	2,3E+02	1,8E+02	8,9E+01	2,67E+01	1,33E+01	5,26E+00	2,53E+00
180	37	0,0E+00	2,2E-03	3,9E-01	2,8E+01	3,2E+02	7,5E+02	6,6E+02	5,3E+02	3,9E+02	3,2E+02	1,8E+02	6,78E+01	4,02E+01	2,28E+01	1,51E+01
185	38	0,0E+00	1,7E-03	3,1E-01	2,1E+01	2,4E+02	5,2E+02	4,3E+02	3,3E+02	2,3E+02	1,8E+02	8,9E+01	2,67E+01	1,33E+01	5,26E+00	2,53E+00
190	39	0,0E+00	7,9E-04	1,5E-01	9,9E+00	1,0E+02	1,7E+02	1,2E+02	7,5E+01	4,3E+01	3,0E+01	1,1E+01	1,57E+00	4,66E-01	6,05E-02	1,10E-02
195	40	0,0E+00	0,0E+00	4,1E-02	2,7E+00	2,2E+01	2,5E+01	1,2E+01	6,1E+00	2,5E+00	1,4E+00	2,7E-01	1,21E-02	1,47E-03	0,00E+00	0,00E+00
200	41	0,0E+00	0,0E+00	6,2E-03	3,9E-01	2,5E+00	1,5E+00	4,6E-01	1,5E-01	3,9E-02	1,6E-02	1,3E-03	0,00E+00	0,00E+00	0,00E+00	0,00E+00
205	42	0,0E+00	0,0E+00	4,8E-04	2,7E-02	1,3E-01	3,3E-02	5,2E-03	9,8E-04	0,0E+00	0,0E+00	0,0E+00	0,00E+00	0,00E+00	0,00E+00	0,00E+00
210	43	0,0E+00	0,0E+00	0,0E+00	8,2E-04	2,4E-03	0,0E+00	0,0E+00	0,0E+00	0,0E+00	0,0E+00	0,00E+00	0,00E+00	0,00E+00	0,00E+00	0,00E+00
215-360	44-72	0,0E+00	0,0E+00	0,0E+00	0,0E+00	0,0E+00	0,0E+00	0,0E+00	0,0E+00	0,0E+00	0,0E+00	0,00E+00	0,00E+00	0,00E+00	0,00E+00	0,00E+00

PRIEDAS 3

PROGRAMA PC COSYMA 2 ĮVERTINTŲ APŠVITOS DOZIŲ SKIRTINGIEMS LĒKTUVO KRITIMO ANT MAIŠIAGALOS RADIOAKTYVIŲJŲ ATLIEKŲ SAUGYKLOS SCENARIJAMS SUVESTINIAI DUOMENYS (VISI DUOMENYS PATEIKTI ATSKIROJE EXCEL RINKMENOJE)

Lentelė 3.1 Išorinės apšvitos dozė debesyje, Sv

Scenarius	Atstumas, km														
	0,1	0,15	0,2	0,3	0,5	1	1,5	2	2,7	3,2	5	10	15	30	50
KONS_F_0	3,34E-07	2,19E-07	1,86E-07	1,42E-07	9,15E-08	4,59E-08	3,17E-08	2,41E-08	1,75E-08	1,44E-08	9,37E-09	5,86E-09	4,26E-09	1,48E-09	8,49E-10
KONS_F_5	3,00E-07	2,23E-07	1,88E-07	1,42E-07	8,38E-08	4,15E-08	2,54E-08	1,79E-08	1,20E-08	9,10E-09	4,59E-09	1,37E-09	4,84E-10	1,94E-11	5,97E-13
KONS_D_0	1,10E-07	8,35E-08	6,25E-08	4,17E-08	2,60E-08	1,25E-08	7,64E-09	5,35E-09	3,63E-09	2,99E-09	1,71E-09	6,97E-10	4,54E-10	2,23E-10	1,43E-10
KONS_D_5	1,14E-07	7,79E-08	6,50E-08	4,38E-08	2,58E-08	1,10E-08	6,64E-09	4,49E-09	2,94E-09	2,25E-09	1,13E-09	2,97E-10	1,23E-10	1,61E-11	1,84E-12
TIK_D_0	0,00E+00	0,00E+00	0,00E+00	0,00E+00	1,96E-11	3,62E-11	3,08E-11	2,77E-11	2,10E-11	1,84E-11	1,40E-11	7,03E-12	5,87E-12	2,38E-12	1,56E-12
TIK_D_5	0,00E+00	0,00E+00	0,00E+00	0,00E+00	3,28E-11	3,49E-11	2,97E-11	2,54E-11	1,90E-11	1,66E-11	1,23E-11	5,16E-12	3,68E-12	8,94E-13	3,11E-13
REAL1_D_0	0,00E+00	0,00E+00	0,00E+00	0,00E+00	0,00E+00	2,82E-11	2,65E-11	2,41E-11	1,81E-11	1,57E-11	1,15E-11	5,59E-12	5,09E-12	2,00E-12	1,31E-12
REAL2_D_0	0,00E+00	0,00E+00	0,00E+00	0,00E+00	0,00E+00	2,36E-11	2,19E-11	1,99E-11	1,51E-11	1,28E-11	9,40E-12	4,52E-12	2,87E-12	1,65E-12	1,08E-12
REAL3_D_0	0,00E+00	0,00E+00	0,00E+00	0,00E+00	1,03E-11	1,75E-11	1,48E-11	1,32E-11	1,01E-11	8,79E-12	7,06E-12	3,48E-12	2,81E-12	1,17E-12	7,65E-13
MED1_D_0	0,00E+00	0,00E+00	0,00E+00	1,04E-10	1,69E-10	1,26E-10	9,18E-11	7,82E-11	5,98E-11	5,28E-11	3,69E-11	1,70E-11	1,23E-11	5,54E-12	3,64E-12
MED2_D_0	0,00E+00	0,00E+00	0,00E+00	8,74E-11	1,40E-10	1,06E-10	7,62E-11	6,61E-11	4,99E-11	4,26E-11	3,08E-11	1,41E-11	1,01E-11	4,59E-12	3,01E-12
MED3_D_0	0,00E+00	7,62E-11	8,55E-11	1,83E-10	1,65E-10	1,12E-10	7,80E-11	6,48E-11	4,78E-11	4,06E-11	2,45E-11	1,07E-11	7,46E-12	3,50E-12	2,33E-12

Lentelė 3.2 Išorinės apšvitos nuo iškritų dozės galia netrukus po iškritimo, Sv/h

Scenarijus	Atstumas, km														
	0,1	0,15	0,2	0,3	0,5	1	1,5	2	2,7	3,2	5	10	15	30	50
KONS_F_0	3,43E-07	2,57E-07	1,90E-07	1,17E-07	5,78E-08	2,09E-08	1,13E-08	7,29E-09	4,61E-09	3,55E-09	1,78E-09	8,25E-10	5,71E-10	2,94E-10	1,69E-10
KONS_F_5	1,05E-06	7,57E-07	5,83E-07	3,93E-07	2,35E-07	1,14E-07	7,27E-08	5,19E-08	3,58E-08	2,86E-08	1,48E-08	3,95E-09	1,33E-09	7,84E-11	2,41E-12
KONS_D_0	1,12E-07	6,85E-08	4,66E-08	2,63E-08	1,26E-08	4,43E-09	2,40E-09	1,56E-09	9,88E-10	7,64E-10	3,88E-10	1,36E-10	7,88E-11	4,43E-11	2,85E-11
KONS_D_5	3,53E-07	2,41E-07	1,82E-07	1,24E-07	7,57E-08	3,91E-08	2,63E-08	1,97E-08	1,43E-08	1,19E-08	6,99E-09	2,54E-09	1,17E-09	1,76E-10	2,02E-11
TIK_D_0	0,00E+00	0,00E+00	0,00E+00	0,00E+00	2,49E-16	4,30E-13	1,92E-12	3,07E-12	3,63E-12	3,60E-12	2,82E-12	1,34E-12	8,29E-13	4,80E-13	3,14E-13
TIK_D_5	0,00E+00	0,00E+00	0,00E+00	0,00E+00	7,56E-10	4,29E-10	3,09E-10	2,43E-10	1,88E-10	1,62E-10	1,07E-10	5,23E-11	3,20E-11	1,15E-11	3,99E-12
REAL1_D_0	0,00E+00	0,00E+00	0,00E+00	0,00E+00	0,00E+00	7,73E-14	7,15E-13	1,52E-12	2,17E-12	2,34E-12	2,08E-12	1,09E-12	6,93E-13	4,01E-13	2,62E-13
REAL2_D_0	0,00E+00	0,00E+00	0,00E+00	0,00E+00	0,00E+00	6,49E-14	5,95E-13	1,26E-12	1,81E-12	1,94E-12	1,74E-12	9,14E-13	5,80E-13	3,34E-13	2,19E-13
REAL3_D_0	0,00E+00	0,00E+00	0,00E+00	0,00E+00	7,60E-16	4,43E-13	1,41E-12	1,95E-12	2,09E-12	1,99E-12	1,45E-12	6,57E-13	4,05E-13	2,34E-13	1,53E-13
MED1_D_0	0,00E+00	0,00E+00	0,00E+00	1,02E-14	1,86E-12	1,67E-11	2,09E-11	1,95E-11	1,58E-11	1,35E-11	8,19E-12	3,24E-12	1,94E-12	1,11E-12	7,30E-13
MED2_D_0	0,00E+00	0,00E+00	0,00E+00	8,74E-15	1,55E-12	1,39E-11	1,75E-11	1,62E-11	1,32E-11	1,13E-11	6,83E-12	2,69E-12	1,61E-12	9,28E-13	6,08E-13
MED3_D_0	0,00E+00	0,00E+00	5,44E-15	7,87E-13	9,79E-12	2,30E-11	2,04E-11	1,63E-11	1,20E-11	9,85E-12	5,55E-12	2,09E-12	1,24E-12	7,00E-13	4,66E-13

Lentelė 3.3 Vidinės apšvitos dėl įkvėptų radionuklidų vienos paros efektinė dozė, Sv

Scenarijus	Atstumas, km														
	0,1	0,15	0,2	0,3	0,5	1	1,5	2	2,7	3,2	5	10	15	30	50
KONS_F_0	4,09E-04	3,07E-04	2,27E-04	1,39E-04	6,89E-05	2,50E-05	1,35E-05	8,73E-06	5,51E-06	4,25E-06	2,13E-06	9,84E-07	6,81E-07	3,51E-07	2,02E-07
KONS_F_5	4,04E-04	3,00E-04	2,21E-04	1,32E-04	6,41E-05	2,16E-05	1,09E-05	6,54E-06	3,73E-06	2,67E-06	1,03E-06	2,31E-07	7,76E-08	4,58E-09	1,41E-10
KONS_D_0	1,34E-04	8,18E-05	5,56E-05	3,14E-05	1,50E-05	5,30E-06	2,87E-06	1,87E-06	1,18E-06	9,14E-07	4,64E-07	1,62E-07	9,42E-08	5,30E-08	3,41E-08
KONS_D_5	1,33E-04	8,07E-05	5,47E-05	3,07E-05	1,43E-05	4,86E-06	2,52E-06	1,56E-06	9,33E-07	6,91E-07	3,00E-07	6,76E-08	2,52E-08	3,81E-09	4,36E-10
TIK_D_0	0,00E+00	0,00E+00	0,00E+00	0,00E+00	2,97E-13	5,82E-10	2,60E-09	4,16E-09	4,90E-09	4,87E-09	3,81E-09	1,81E-09	1,12E-09	6,48E-10	4,24E-10
TIK_D_5	0,00E+00	0,00E+00	0,00E+00	0,00E+00	0,00E+00	5,61E-10	2,47E-09	3,89E-09	4,50E-09	4,40E-09	3,26E-09	1,32E-09	6,98E-10	2,50E-10	8,69E-11
REAL1_D_0	0,00E+00	0,00E+00	0,00E+00	0,00E+00	0,00E+00	9,19E-11	8,50E-10	1,81E-09	2,59E-09	2,79E-09	2,49E-09	1,30E-09	8,26E-10	4,76E-10	3,11E-10
REAL2_D_0	0,00E+00	0,00E+00	0,00E+00	0,00E+00	0,00E+00	9,29E-11	8,51E-10	1,81E-09	2,59E-09	2,78E-09	2,49E-09	1,30E-09	8,27E-10	4,76E-10	3,12E-10
REAL3_D_0	0,00E+00	0,00E+00	0,00E+00	0,00E+00	1,09E-12	6,41E-10	2,03E-09	2,81E-09	3,01E-09	2,87E-09	2,10E-09	9,49E-10	5,84E-10	3,37E-10	2,21E-10
MED1_D_0	0,00E+00	0,00E+00	0,00E+00	1,21E-11	2,22E-09	1,99E-08	2,49E-08	2,32E-08	1,89E-08	1,61E-08	9,75E-09	3,86E-09	2,31E-09	1,32E-09	8,68E-10
MED2_D_0	0,00E+00	0,00E+00	0,00E+00	1,23E-11	2,22E-09	1,99E-08	2,49E-08	2,31E-08	1,88E-08	1,61E-08	9,74E-09	3,85E-09	2,31E-09	1,32E-09	8,67E-10
MED3_D_0	0,00E+00	6,87E-14	7,64E-12	1,14E-09	1,41E-08	3,31E-08	2,94E-08	2,35E-08	1,74E-08	1,42E-08	8,01E-09	3,01E-09	1,78E-09	1,01E-09	6,72E-10

Lentelė 3.4 Dešimties valandų po avarijos apšvitos bendra efektinė dozė įskaitant gyvenamojo namo ekranavimą, Sv

Scenarijus	Atstumas, km														
	0,1	0,15	0,2	0,3	0,5	1	1,5	2	2,7	3,2	5	10	15	30	50
KONS_F_0	1,73E-04	1,29E-04	9,60E-05	5,87E-05	2,91E-05	1,06E-05	5,72E-06	3,70E-06	2,34E-06	1,81E-06	9,06E-07	4,21E-07	2,91E-07	1,50E-07	8,60E-08
KONS_F_5	1,74E-04	1,29E-04	9,55E-05	5,76E-05	2,81E-05	9,70E-06	4,99E-06	3,04E-06	1,77E-06	1,29E-06	5,18E-07	1,20E-07	4,04E-08	2,37E-09	7,29E-11
KONS_D_0	5,67E-05	3,45E-05	2,35E-05	1,33E-05	6,34E-06	2,25E-06	1,22E-06	7,92E-07	5,02E-07	3,88E-07	1,97E-07	6,90E-08	4,01E-08	2,26E-08	1,45E-08
KONS_D_5	5,77E-05	3,51E-05	2,39E-05	1,35E-05	6,40E-06	2,26E-06	1,21E-06	7,68E-07	4,73E-07	3,58E-07	1,66E-07	4,30E-08	1,73E-08	2,61E-09	2,98E-10
TIK_D_0	0,00E+00	0,00E+00	0,00E+00	0,00E+00	1,97E-11	2,81E-10	1,13E-09	1,78E-09	2,08E-09	2,07E-09	1,62E-09	7,69E-10	4,79E-10	2,75E-10	1,80E-10
TIK_D_5	0,00E+00	0,00E+00	0,00E+00	0,00E+00	4,34E-09	2,71E-09	2,82E-09	3,03E-09	2,96E-09	2,77E-09	1,98E-09	8,53E-10	4,77E-10	1,70E-10	5,93E-11
REAL1_D_0	0,00E+00	0,00E+00	0,00E+00	0,00E+00	0,00E+00	6,70E-11	3,85E-10	7,87E-10	1,11E-09	1,19E-09	1,06E-09	5,53E-10	3,53E-10	2,03E-10	1,33E-10
REAL2_D_0	0,00E+00	0,00E+00	0,00E+00	0,00E+00	0,00E+00	6,26E-11	3,80E-10	7,81E-10	1,11E-09	1,18E-09	1,06E-09	5,53E-10	3,51E-10	2,02E-10	1,32E-10
REAL3_D_0	0,00E+00	0,00E+00	0,00E+00	0,00E+00	1,08E-11	2,87E-10	8,69E-10	1,20E-09	1,28E-09	1,22E-09	8,90E-10	4,03E-10	2,49E-10	1,43E-10	9,35E-11
MED1_D_0	0,00E+00	0,00E+00	0,00E+00	1,09E-10	1,10E-09	8,50E-09	1,06E-08	9,84E-09	8,01E-09	6,85E-09	4,14E-09	1,64E-09	9,86E-10	5,61E-10	3,69E-10
MED2_D_0	0,00E+00	0,00E+00	0,00E+00	9,26E-11	1,07E-09	8,46E-09	1,06E-08	9,80E-09	7,97E-09	6,81E-09	4,13E-09	1,63E-09	9,82E-10	5,61E-10	3,68E-10
MED3_D_0	0,00E+00	7,63E-11	8,88E-11	6,62E-10	6,10E-09	1,40E-08	1,25E-08	9,97E-09	7,35E-09	6,02E-09	3,39E-09	1,28E-09	7,57E-10	4,28E-10	2,85E-10

Lentelė 3.5 Vienos paros po avarijos apšvitos bendra efektinė dozė įskaitant gyvenamojo namo ekranavimą, Sv

Scenarijus	Atstumas, km														
	0,1	0,15	0,2	0,3	0,5	1	1,5	2	2,7	3,2	5	10	15	30	50
KONS_F_0	4,15E-04	3,10E-04	2,30E-04	1,41E-04	6,98E-05	2,53E-05	1,37E-05	8,85E-06	5,59E-06	4,31E-06	2,16E-06	1,00E-06	6,93E-07	3,57E-07	2,05E-07
KONS_F_5	4,18E-04	3,10E-04	2,29E-04	1,38E-04	6,74E-05	2,32E-05	1,19E-05	7,26E-06	4,23E-06	3,07E-06	1,24E-06	2,86E-07	9,63E-08	5,67E-09	1,74E-10
KONS_D_0	1,36E-04	8,28E-05	5,63E-05	3,18E-05	1,52E-05	5,37E-06	2,92E-06	1,89E-06	1,20E-06	9,27E-07	4,71E-07	1,65E-07	9,57E-08	5,38E-08	3,46E-08
KONS_D_5	1,38E-04	8,41E-05	5,72E-05	3,24E-05	1,53E-05	5,41E-06	2,89E-06	1,84E-06	1,13E-06	8,56E-07	3,97E-07	1,03E-07	4,13E-08	6,23E-09	7,14E-10
TIK_D_0	0,00E+00	0,00E+00	0,00E+00	0,00E+00	1,99E-11	6,25E-10	2,66E-09	4,23E-09	4,97E-09	4,93E-09	3,86E-09	1,84E-09	1,14E-09	6,57E-10	4,30E-10
TIK_D_5	0,00E+00	0,00E+00	0,00E+00	0,00E+00	1,04E-08	6,47E-09	6,72E-09	7,24E-09	7,09E-09	6,63E-09	4,73E-09	2,04E-09	1,14E-09	4,08E-10	1,42E-10
REAL1_D_0	0,00E+00	0,00E+00	0,00E+00	0,00E+00	0,00E+00	1,21E-10	8,87E-10	1,85E-09	2,64E-09	2,84E-09	2,53E-09	1,32E-09	8,41E-10	4,84E-10	3,16E-10
REAL2_D_0	0,00E+00	0,00E+00	0,00E+00	0,00E+00	0,00E+00	1,17E-10	8,81E-10	1,85E-09	2,63E-09	2,82E-09	2,52E-09	1,32E-09	8,38E-10	4,83E-10	3,16E-10
REAL3_D_0	0,00E+00	0,00E+00	0,00E+00	0,00E+00	1,14E-11	6,64E-10	2,07E-09	2,85E-09	3,05E-09	2,91E-09	2,13E-09	9,61E-10	5,93E-10	3,42E-10	2,23E-10
MED1_D_0	0,00E+00	0,00E+00	0,00E+00	1,16E-10	2,41E-09	2,02E-08	2,53E-08	2,35E-08	1,91E-08	1,64E-08	9,90E-09	3,92E-09	2,35E-09	1,34E-09	8,81E-10
MED2_D_0	0,00E+00	0,00E+00	0,00E+00	9,98E-11	2,38E-09	2,02E-08	2,52E-08	2,34E-08	1,91E-08	1,63E-08	9,86E-09	3,90E-09	2,34E-09	1,34E-09	8,79E-10
MED3_D_0	0,00E+00	7,63E-11	9,33E-11	1,33E-09	1,44E-08	3,36E-08	2,98E-08	2,38E-08	1,76E-08	1,44E-08	8,11E-09	3,05E-09	1,81E-09	1,02E-09	6,81E-10

Lentelė 3.6 Septynių parų po avarijos apšvitos bendra efektinė dozė įskaitant gyvenamojo namo ekranavimą, Sv

Scenarijus	Atstumas, km														
	0,1	0,15	0,2	0,3	0,5	1	1,5	2	2,7	3,2	5	10	15	30	50
KONS_F_0	2,85E-03	2,14E-03	1,58E-03	9,69E-04	4,80E-04	1,74E-04	9,41E-05	6,09E-05	3,84E-05	2,96E-05	1,48E-05	6,87E-06	4,75E-06	2,45E-06	1,41E-06
KONS_F_5	2,90E-03	2,15E-03	1,59E-03	9,57E-04	4,68E-04	1,62E-04	8,38E-05	5,11E-05	2,99E-05	2,18E-05	8,85E-06	2,06E-06	6,93E-07	4,08E-08	1,25E-09
KONS_D_0	9,35E-04	5,70E-04	3,88E-04	2,19E-04	1,04E-04	3,70E-05	2,00E-05	1,30E-05	8,25E-06	6,37E-06	3,24E-06	1,13E-06	6,57E-07	3,70E-07	2,38E-07
KONS_D_5	9,59E-04	5,84E-04	3,97E-04	2,26E-04	1,07E-04	3,81E-05	2,05E-05	1,31E-05	8,13E-06	6,17E-06	2,90E-06	7,69E-07	3,13E-07	4,72E-08	5,41E-09
TIK_D_0	0,00E+00	0,00E+00	0,00E+00	0,00E+00	2,17E-11	4,09E-09	1,81E-08	2,90E-08	3,41E-08	3,39E-08	2,65E-08	1,26E-08	7,83E-09	4,51E-09	2,95E-09
TIK_D_5	0,00E+00	0,00E+00	0,00E+00	0,00E+00	9,05E-08	5,52E-08	5,39E-08	5,58E-08	5,34E-08	4,96E-08	3,52E-08	1,53E-08	8,63E-09	3,09E-09	1,07E-09
REAL1_D_0	0,00E+00	0,00E+00	0,00E+00	0,00E+00	0,00E+00	6,69E-10	5,95E-09	1,26E-08	1,81E-08	1,95E-08	1,74E-08	9,05E-09	5,76E-09	3,32E-09	2,17E-09
REAL2_D_0	0,00E+00	0,00E+00	0,00E+00	0,00E+00	0,00E+00	6,69E-10	5,94E-09	1,26E-08	1,80E-08	1,93E-08	1,73E-08	9,07E-09	5,76E-09	3,31E-09	2,17E-09
REAL3_D_0	0,00E+00	0,00E+00	0,00E+00	0,00E+00	1,78E-11	4,47E-09	1,41E-08	1,96E-08	2,09E-08	2,00E-08	1,46E-08	6,60E-09	4,07E-09	2,35E-09	1,53E-09
MED1_D_0	0,00E+00	0,00E+00	0,00E+00	1,88E-10	1,56E-08	1,39E-07	1,74E-07	1,61E-07	1,32E-07	1,12E-07	6,80E-08	2,69E-08	1,61E-08	9,19E-09	6,05E-09
MED2_D_0	0,00E+00	0,00E+00	0,00E+00	1,73E-10	1,56E-08	1,38E-07	1,73E-07	1,61E-07	1,31E-07	1,12E-07	6,77E-08	2,68E-08	1,61E-08	9,21E-09	6,03E-09
MED3_D_0	0,00E+00	7,67E-11	1,39E-10	8,10E-09	9,82E-08	2,30E-07	2,05E-07	1,64E-07	1,21E-07	9,89E-08	5,57E-08	2,09E-08	1,24E-08	7,02E-09	4,68E-09

Lentelė 3.7 Vienerių metų po avarijos apšvitos bendra efektinė dozė įskaitant gyvenamojo namo ekranausimą, Sv

Scenarijus	Atstumas, km														
	0,1	0,15	0,2	0,3	0,5	1	1,5	2	2,7	3,2	5	10	15	30	50
KONS_F_0	1,90E-02	1,42E-02	1,06E-02	6,44E-03	3,20E-03	1,16E-03	6,29E-04	4,06E-04	2,56E-04	1,97E-04	9,91E-05	4,56E-05	3,17E-05	1,63E-05	9,38E-06
KONS_F_5	2,15E-02	1,59E-02	1,18E-02	7,24E-03	3,67E-03	1,37E-03	7,49E-04	4,82E-04	2,98E-04	2,25E-04	1,02E-04	2,51E-05	8,48E-06	4,98E-07	1,53E-08
KONS_D_0	6,23E-03	3,79E-03	2,58E-03	1,46E-03	6,93E-04	2,46E-04	1,34E-04	8,65E-05	5,49E-05	4,24E-05	2,15E-05	7,53E-06	4,37E-06	2,46E-06	1,58E-06
KONS_D_5	7,11E-03	4,41E-03	3,07E-03	1,80E-03	9,10E-04	3,61E-04	2,10E-04	1,43E-04	9,54E-05	7,55E-05	3,98E-05	1,27E-05	5,57E-06	8,39E-07	9,61E-08
TIK_D_0	0,00E+00	0,00E+00	0,00E+00	0,00E+00	4,56E-11	2,75E-08	1,20E-07	1,92E-07	2,26E-07	2,24E-07	1,75E-07	8,32E-08	5,18E-08	2,98E-08	1,95E-08
TIK_D_5	0,00E+00	0,00E+00	0,00E+00	0,00E+00	2,91E-06	1,68E-06	1,29E-06	1,10E-06	9,17E-07	8,12E-07	5,53E-07	2,58E-07	1,54E-07	5,49E-08	1,91E-08
REAL1_D_0	0,00E+00	0,00E+00	0,00E+00	0,00E+00	0,00E+00	4,73E-09	3,98E-08	8,40E-08	1,20E-07	1,29E-07	1,16E-07	6,05E-08	3,84E-08	2,21E-08	1,45E-08
REAL2_D_0	0,00E+00	0,00E+00	0,00E+00	0,00E+00	0,00E+00	4,67E-09	3,93E-08	8,30E-08	1,19E-07	1,28E-07	1,14E-07	5,97E-08	3,79E-08	2,18E-08	1,43E-08
REAL3_D_0	0,00E+00	0,00E+00	0,00E+00	0,00E+00	1,10E-10	2,98E-08	9,36E-08	1,29E-07	1,38E-07	1,32E-07	9,63E-08	4,36E-08	2,69E-08	1,55E-08	1,01E-08
MED1_D_0	0,00E+00	0,00E+00	0,00E+00	1,07E-09	1,07E-07	9,25E-07	1,16E-06	1,08E-06	8,75E-07	7,48E-07	4,52E-07	1,79E-07	1,07E-07	6,13E-08	4,03E-08
MED2_D_0	0,00E+00	0,00E+00	0,00E+00	1,05E-09	1,05E-07	9,14E-07	1,14E-06	1,06E-06	8,65E-07	7,39E-07	4,47E-07	1,77E-07	1,06E-07	6,05E-08	3,98E-08
MED3_D_0	0,00E+00	8,07E-11	8,74E-10	5,63E-08	6,53E-07	1,52E-06	1,35E-06	1,08E-06	7,96E-07	6,53E-07	3,68E-07	1,38E-07	8,20E-08	4,65E-08	3,09E-08

Galimų branduolinių ir radiologinių avarių Maišiagalos radioaktyviųjų atliekų saugykloje padarinių analizė

Lentelė 3.8 50-ies metų po avarijos apšvitos bendra efektinė dozė įskaitant gyvenamojo namo ekranavimą, Sv

Scenarijus	Atstumas, km														
	0,1	0,15	0,2	0,3	0,5	1	1,5	2	2,7	3,2	5	10	15	30	50
KONS_F_0	9,84E-02	7,36E-02	5,47E-02	3,33E-02	1,65E-02	5,99E-03	3,25E-03	2,10E-03	1,32E-03	1,02E-03	5,12E-04	2,36E-04	1,64E-04	8,44E-05	4,85E-05
KONS_F_5	2,09E-01	1,52E-01	1,16E-01	7,66E-02	4,40E-02	2,03E-02	1,26E-02	8,91E-03	6,06E-03	4,81E-03	2,46E-03	6,50E-04	2,19E-04	1,29E-05	3,97E-07
KONS_D_0	3,22E-02	1,96E-02	1,33E-02	7,54E-03	3,58E-03	1,27E-03	6,91E-04	4,47E-04	2,84E-04	2,19E-04	1,11E-04	3,89E-05	2,26E-05	1,27E-05	8,17E-06
KONS_D_5	7,03E-02	4,69E-02	3,49E-02	2,30E-02	1,36E-02	6,74E-03	4,45E-03	3,29E-03	2,37E-03	1,96E-03	1,14E-03	4,09E-04	1,88E-04	2,83E-05	3,24E-06
TIK_D_0	0,00E+00	0,00E+00	0,00E+00	0,00E+00	1,48E-10	1,34E-07	5,88E-07	9,36E-07	1,10E-06	1,10E-06	8,57E-07	4,07E-07	2,53E-07	1,46E-07	9,54E-08
TIK_D_5	0,00E+00	0,00E+00	0,00E+00	0,00E+00	1,20E-04	6,83E-05	4,92E-05	3,89E-05	3,03E-05	2,62E-05	1,74E-05	8,45E-06	5,18E-06	1,85E-06	6,43E-07
REAL1_D_0	0,00E+00	0,00E+00	0,00E+00	0,00E+00	0,00E+00	2,44E-08	2,06E-07	4,35E-07	6,23E-07	6,68E-07	5,98E-07	3,13E-07	1,98E-07	1,14E-07	7,48E-08
REAL2_D_0	0,00E+00	0,00E+00	0,00E+00	0,00E+00	0,00E+00	2,22E-08	1,87E-07	3,96E-07	5,67E-07	6,09E-07	5,45E-07	2,85E-07	1,81E-07	1,04E-07	6,81E-08
REAL3_D_0	0,00E+00	0,00E+00	0,00E+00	0,00E+00	4,87E-10	1,41E-07	4,44E-07	6,13E-07	6,55E-07	6,25E-07	4,57E-07	2,07E-07	1,27E-07	7,33E-08	4,80E-08
MED1_D_0	0,00E+00	0,00E+00	0,00E+00	5,15E-09	5,51E-07	4,78E-06	5,99E-06	5,56E-06	4,53E-06	3,87E-06	2,34E-06	9,25E-07	5,55E-07	3,17E-07	2,08E-07
MED2_D_0	0,00E+00	0,00E+00	0,00E+00	4,69E-09	5,02E-07	4,35E-06	5,45E-06	5,06E-06	4,12E-06	3,52E-06	2,13E-06	8,42E-07	5,05E-07	2,88E-07	1,90E-07
MED3_D_0	0,00E+00	9,75E-11	3,86E-09	2,67E-07	3,10E-06	7,22E-06	6,41E-06	5,13E-06	3,77E-06	3,10E-06	1,74E-06	6,56E-07	3,89E-07	2,21E-07	1,46E-07

Lentelė 3.9 Skirtingų apšvitos būdų (trasų) indėlis į gyventojų už MRAS SAZ ribos (už 2,7 km nuo MRAS) efektinę dozę, %

Sumavimo laikotarpis	1 metu				50 metu				
	Apšvitos būdas								
Scenarijus	CL	GR	IH	IHR	CL	GR	IH	IG	IHR
KONS_F_0	0,01	6,79	93,07	0,14	0	8,38	44,72	46,77	0,12
KONS_F_5	0	45,07	54,03	0,9	0	14,16	6,61	79,02	0,21
KONS_D_0	0,01	6,77	93,09	0,14	0	8,35	44,74	46,78	0,12
KONS_D_5	0	56,58	42,29	1,13	0	14,52	4,23	81,04	0,22
TIK_D_0	0,01	6,05	93,8	0,14	0	7,97	47,71	44,18	0,13
TIK_D_5	0	77,1	21,16	1,73	0	15,01	1,59	83,15	0,25
REAL1_D_0	0,02	6,79	93,06	0,14	0	8,38	44,72	46,77	0,12
REAL2_D_0	0,01	5,74	94,11	0,14	0	7,78	49,1	42,98	0,14
REAL3_D_0	0,01	5,69	94,17	0,14	0	7,76	49,31	42,79	0,14
MED1_D_0	0,01	6,79	93,07	0,14	0	8,38	44,72	46,77	0,12
MED2_D_0	0,01	5,74	94,12	0,14	0	7,78	49,1	42,98	0,14
MED3_D_0	0,01	5,69	94,17	0,14	0	7,76	49,31	42,79	0,14

CL - išorinės apšvitos nuo debesies

GR – išorinės apšvitos nuo iškritų

IH – vidinės apšvitos dėl įkvėptujų radionuklidų

IG - vidinės apšvitos dėl prarytujuų radionuklidų

IHR – vidinės apšvitos dėl įkvėptujų resuspenduotų radionuklidų

Lentelė 3.10 Skirtingų radionuklidų indėlis į gyventojų už MRAS SAZ ribos (už 2,7 km nuo MRAS) efektinę dozę, %

Sumavimo laikotarpis	1 metų							50 metų					
	Radionuklidas												
Scenarijus	CO-60	SR-90	Y-90	CS-137	EU-152	RA-226	PU-239	CO-60	SR-90	CS-137	EU-152	RA-226	PU-239
KONS_F_0	0,06	0,02	0	6,8	0,02	24,39	68,71	0,07	1,02	52	0,04	5,71	41,16
KONS_F_5	0,37	0,01	0	42,85	0,14	16,13	40,49	0,11	1,7	87,73	0,06	2,23	8,17
KONS_D_0	0,06	0,02	0	6,8		24,39	68,73	0,05	1,02	52,03		5,72	41,18
KONS_D_5	0,46	0,01	0	53,7	0,17	13,65	32,01	0,12	1,74	89,97	0,06	2,01	6,11
TIK_D_0	0,04	0,02	0	6,03	0,02	24,64	69,24	0,05	1,09	48,8	0,04	6,11	43,9
TIK_D_5	0,51	0,01	0	72,65	0,27	9,68	16,88	0,1	2,01	91,71	0,07	1,98	4,13
REAL1_D_0	0,06	0,02	0	6,81	0,02	24,39	68,7	0,07	1,02	52	0,04	5,71	41,16
REAL2_D_0	0,04	0,02	0	5,71	0,02	24,68	69,53	0,05	1,12	47,32	0,04	6,27	45,2
REAL3_D_0	0,04	0,02	0	5,65	0,02	24,81	69,46	0,05	1,13	47,08	0,04	6,34	45,36
MED1_D_0	0,06	0,02	0	6,8	0,02	24,39	68,71	0,07	1,02	52	0,04	5,71	41,16
MED2_D_0	0,04	0,02	0	5,7	0,02	24,68	69,54	0,05	1,12	47,32	0,04	6,27	45,2
MED3_D_0	0,04	0,02	0	5,65	0,02	24,81	69,46	0,05	1,13	47,08	0,04	6,34	45,36

Y-90 – dukterinis Sr-90 skilimo produktas